



**Wojewódzki Inspektorat Ochrony Środowiska w Katowicach**  
**Pracownia Analiz Manualnych, Instrumentalnych, Hydrobiologicznych,**  
**Mikrobiologicznych oraz Pomiarów Terenowych i Pobierania Próbek**  
**w Bielsku-Białej**

43-316 Bielsko-Biała, ul. Partyzantów 117; fax: (33) 812-49-30; tel: (33) 812-30-37, (33) 812-44-92  
e-mail: bielsko@katowice.wios.gov.pl

---

Nr sprawy: LB.7071.3.2018  
PROTOKÓŁ Z POMIARÓW nr 19/42/2018/PEM

**SPRAWOZDANIE Z MONITORINGOWEGO POMIARU PÓL**  
**ELEKTROMAGNETYCZNYCH nr: 408/2018**

**Instalacja: BT-24355, 50371 WODZISŁAW ŚLĄSKI, WOD2001A;**

**Miejsce pomiarów: P-1 (125/PEM/m), Wodzisław Śląski, Rynek;**

**Temat:** Pomiary monitoringowe poziomów pól elektromagnetycznych w przedziale częstotliwości  
100 kHz – 3 GHz (składowej *elektrycznej* E) w środowisku;

**Data oraz godzina wykonania pomiarów: 23.07.2018, godzina 10:29-12:29;**

**Pora wykonania pomiarów : dnia.**

*Niniejsze sprawozdanie, wraz z załącznikami nie może być powielane inaczej jak tylko w całości.  
Prezentowane wyniki badań odnoszą się wyłącznie do badanych obiektów.*

## 1. PODSTAWA BADAŃ

Podstawę realizacji przedmiotowych badań monitoringowych poziomów pól elektromagnetycznych w przedziale częstotliwości 100 kHz – 3 GHz w środowisku stanowi Rozporządzenie Ministra Środowiska z -dnia 12 listopada 2007 r. w sprawie zakresu i sposobu prowadzenia okresowych badań poziomów pól elektromagnetycznych w środowisku (Dz.U. Nr 221, Poz. 1645).

## 2. CEL BADAŃ

Celem badań jest określenie poziomów pól elektromagnetycznych w przedziale częstotliwości 100 kHz – 3 GHz (składowej *elektrycznej* E) w środowisku, w miejscach dostępnych dla ludności, na terenie obszaru zabudowy mieszkaniowej centrum miasta Wodzisław Śląski, w rozumieniu wytycznych Rozporządzenia Ministra Środowiska z dnia 12 listopada 2007 r. (Dz. U. Nr 221, Poz. 1645), w ramach programu Państwowego Monitoringu Środowiska.

## 3. TEREN BADAŃ

Punkt pomiarowy P-1 poziomów pól elektromagnetycznych w środowisku zlokalizowano w granicach administracyjnych miasta Wodzisław Śląski, w ścisłym centrum u wlotu ulicy Opolskiego na rynek miasta. Zgodnie z obowiązującym Rozporządzeniem wysokość posadowienia sondy pomiarowej wyniosła h: 2 m n.p.t. W najbliższym sąsiedztwie punktu pomiarowego P-1, zagospodarowanie terenu stanowi zwarta zabudowa mieszkaniowa wielorodzinna dwu, trzykondygnacyjna z funkcją usługowo-handlową. Runek miasta pełni także funkcję rekreacyjną, płyta rynku zagospodarowana jest poprzez małą architekturę taką jak ławki, fontanna itp. Najbliższy położony względem punktu pomiarowego obiekt budowlany – budynek nr 19, oddalony o około 12 m znajduje się w kierunku północnym. W kierunku wschodnim i zachodnim najbliższa zabudowa oddalona jest od P-1 o około 65 m.

W kierunku północno-wschodnim, na dachu sześciokondygnacyjnego budynku znajdują się instalacje radiokomunikacyjne – stacje bazowe telefonii komórkowych.

Klasyfikacja rodzaju terenu wg wytycznych przedmiotowego Rozporządzenia:

*Dzielnica (osiedle) miasta o liczbie mieszkańców powyżej 50 tys.*

System Kodowania Jednostek Terytorialnych i Statystycznych (KTS):

*Wodzisław Śląski 10012414915041*

Współrzędne geogr. (GPS) punktu pomiarowego poziomów pól elektromagnetycznych w środowisku:

*N 50°00'10.3";*

*E 18°27'45.0";*

Wysokość lokalizacji punktu pomiarowego:

*h: 2,0 [m] n.p.t.;*

Odległości punktu pomiarowego od elewacji najbliższych obiektów mieszkalnych - wielorodzinnych zlokalizowanej w pobliżu przekroju pomiarowego poziomów pól w środowisku:

*l = 12 [m] - od elewacji budynku mieszkalnego wielorodzinnego - Rynek 19*

Lokalizacja punktu pomiarowego – w północnej części rynku miasta, u wlotu ulicy Opolskiego, w pasie zieleni niskiej pomiędzy jezdnią uliczki okalającej rynek a płytą główną rynku.

#### 4. METODYKA BADAŃ

Rozporządzenie Ministra Środowiska z dnia 12 listopada 2007 r. w sprawie zakresu i sposobu prowadzenia okresowych badań poziomów pól elektromagnetycznych w środowisku (Dz. U. Nr 221, Poz. 1645).

#### 5. WYPOSAŻENIE POMIAROWE

Pomiarów poziomów pól elektromagnetycznych częstotliwości 100 kHz - 3 GHz (składowej elektrycznej) w środowisku dokonano przy użyciu szerokopasmowego miernika natężenia pola elektromagnetycznego Narda Broadband Field Meter NBM-550 wraz z sondą EF0391, prod. Narda Safety Test Solutions GmbH, Niemcy;

Pomiarów warunków meteorologicznych dokonano przy pomocy automatycznej stacji meteorologicznej Kestrel 4500NV.

Szczegółowe dane identyfikacyjne przyrządów przedstawiono w tabeli poniżej:

**Tabela 1**

| Pomiary<br>poziomów pól elektromagnetycznych<br>częstotliwości<br>100 kHz – 3 GHz<br>(składowej elektrycznej)<br>w środowisku |   | Pomiary<br>warunków<br>meteorologicznych<br>w środowisku    |   |
|---|---|---|---|
| Przyrząd pomiarowy  | Typ: Broadband Field Meter<br>NBM-550<br>P/N: 2401/01<br>S/N: B-0777<br>Producent: Narda Safety Test<br>Solutions GmbH,<br>Niemcy;  | Przyrząd pomiarowy  | Typ: KESTREL 4500NV<br>S. no.: 696734<br>Producent: Nielsen-Kellerman |
| Sonda pomiarowa   | Typ: EF0391, <i>E-Field</i><br>P/N: 2402/01<br>S/N: A-0882<br>Producent: j.w.<br>Zakres: 100 kHz – 3 GHz<br>Charakterystyka częstotliwościowa<br>czułości:<br>+/- 1 dB (1MHz – 1 GHz)<br>+/- 1,25dB (1GHz – 2,45 GHz) |   |   |
| Data i czasokres pomiarów   | 23-07-2018 r.   | Wyniki pomiarów:  |   |
|   | 10:29:04–12:29:04   | T [°C]  | 24,6 – 30,7   |
|   |   | RH [ % ]  | 43,1 – 55,4   |
| Częstotliwość próbkowania   | f: 10 sec.  | UWAGI:<br>Brak zachmurzenia;<br>Brak opadów atmosferycznych |   |

Gdzie:

- T – temperatura powietrza w [°C];  
RH – wilgotność względna powietrza w [%].

Zastosowany przyrząd pomiarowy poziomów pól oraz sonda pomiarowa poziomów pól posiadają stosowne *świadcstwo wzorcowania* nr LWiMP/W/090/17 z dn. 15.03.2017 r. wydane przez Laboratorium Wzorców i Metrologii Pola Elektromagnetycznego Politechniki Wrocławskiej.

Zastosowana sonda pomiarowa poziomów pól posiada sferyczną charakterystykę kierunkową, a w trakcie realizacji badań znajdowała się na wysokości 2 [m] n.p.t., na dielektrycznym statywie, w odległości  $d > 100$  [m] od rzutu anten instalacji radiokomunikacyjnych na powierzchni terenu, zgodnie z wymaganiami przedmiotowego Rozporządzenia.

## **6. INFORMACJE NA TEMAT INSTALACJI**

### **RADIOKOMUNIKACYJNYCH, RADIOŁOKACYJNYCH, RADIONAWIGACYJNYCH REJONU BADAŃ PÓL ELEKTROMAGNETYCZNYCH \*)**

*(\* - w rozumieniu wymagań przedmiotowego Rozporządzenia)*

W odległości około 130 m od punktu pomiarowego P-1, w kierunku północno-wschodnim, znajduje się sześciokondygnacyjny budynek biurowy przy ul. św. Jana 16, na dachu którego zainstalowano anteny nadawczo-odbiorcze stacji bazowych telefonii komórkowych, należących do czterech operatorów: Polkomtel Infrastruktura Sp. z o.o., Sferia Sp. z o.o., T-Mobile Polska S.A. oraz P4 Sp. z o.o. W tabelach 2, 3 i 4 przedstawiono wyspecyfikowane parametry instalacji, zebrane na podstawie materiałów uzyskanych od operatorów.

**Tabela 2**

| <b><u>Zarządzający instalacją:</u></b><br>Polkomtel Infrastruktura Sp. z o.o.<br>ul. Konduktorska 4<br>02-673 Warszawa<br>Sferia Sp. z o.o.<br>Al. Stanów Zjednoczonych 61A<br>04-028 Warszawa |                            |                                  |   |   |                            |
|--|----------------------------|----------------------------------|---|---|----------------------------|
| <b><u>Nazwa instalacji wg nomenklatury użytkownika:</u></b><br>Oznaczenie stacji bazowej: <b>BT-24355</b>  |                            |                                  |   |   |                            |
| <b><u>Lokalizacja:</u></b><br>Dach budynku przy ul. Jana 16 w Wodzisławiu Śląskim  |                            |                                  |   |   |                            |
| Lp.  | Azymut<br>[ <sup>o</sup> ] | Typ anteny                       | Pasmo (system)<br>pracy<br>[MHz]                    | Wysokość<br>zawieszenia<br>H [m] n.p.t. | EIRP <sub>max</sub><br>[W] |
| 1.   | 60                         | Antena sektorowa<br>742265V02    | 900 (GSM)<br>900 (UMTS)<br>2100 (UMTS)<br>900 (LTE) | 34,0                                    | 7636                       |
| 2.   | 180                        | Antena sektorowa<br>742265V02    | 900 (GSM)<br>900 (UMTS)<br>2100 (UMTS)<br>900 (LTE) | 34,0                                    | 7636                       |
| 3.   | 310                        | Antena sektorowa<br>742265V02    | 900 (GSM)<br>900 (UMTS)<br>2100 (UMTS)<br>900 (LTE) | 34,0                                    | 7636                       |
| 4.   | 60                         | Antena sektorowa<br>ATR4517R3V07 | 1800 (GSM)<br>800 (LTE)<br>1800 (LTE)               | 34,0                                    | 6960                       |
| 5.   | 180                        | Antena sektorowa<br>ATR4517R3V07 | 1800 (GSM)<br>800 (LTE)<br>1800 (LTE)               | 31,6                                    | 7273                       |
| 6.   | 310                        | Antena sektorowa<br>ATR4517R3V07 | 1800 (GSM)<br>800 (LTE)<br>1800 (LTE)               | 31,6                                    | 7273                       |
| EIRP <sub>max</sub> , łącznie ze wszystkich anten przedmiotowej instalacji: <b>44 414 [W]</b> .  |                            |                                  |   |   |                            |

**Objaśnienia:**EIRP<sub>max</sub> – wartości max mocy promieniowania równoważnej izotropowo, [W].

Tabela 3

| <b><u>Zarządzający instalacją:</u></b><br>T-Mobile Polska S.A.<br>ul. Marynarska 12<br>02-674 Warszawa      |                            |                                    |                               |   |                            |
|---|----------------------------|------------------------------------|-------------------------------|---|----------------------------|
| <b><u>Nazwa instalacji wg nomenklatury użytkownika:</u></b><br>Stacja bazowa nr: 50371                      |                            |                                    |                               |   |                            |
| <b><u>Lokalizacja:</u></b><br>Dach budynku przy ul. Jana 16 w Wodzisławiu Śląskim                           |                            |                                    |                               |   |                            |
| Lp.   | Azymut<br>[ <sup>o</sup> ] | Typ anteny                         | Pasmo (system) pracy<br>[MHz] | Wysokość<br>zawieszenia<br>H [m] n.p.t. | EIRP <sub>max</sub><br>[W] |
| 1.  | 100                        | Antena<br>sektorowa<br>742 264     | 900 (GSM)<br>1800 (GSM)       | 28,2                                    | 3684                       |
| 2.  | 210                        | Antena<br>sektorowa<br>742 264     | 900 (GSM)<br>1800 (GSM)       | 28,2                                    | 3684                       |
| 3.  | 330                        | Antena<br>sektorowa<br>742 264     | 900 (GSM)<br>1800 (GSM)       | 27,2                                    | 3684                       |
| 4.  | 100                        | Antena<br>sektorowa<br>80010510v01 | 1800 (LTE)                    | 28,2                                    | 4448                       |
| 5.  | 210                        | Antena<br>sektorowa<br>80010510v01 | 1800 (LTE)                    | 28,2                                    | 4448                       |
| 6.  | 330                        | Antena<br>sektorowa<br>80010510v01 | 1800 (LTE)                    | 27,2                                    | 4448                       |
| 7.  | 100                        | Antena<br>sektorowa<br>80010510v01 | 2100 (UMTS)                   | 28,2                                    | 1783                       |
| 8.  | 210                        | Antena<br>sektorowa<br>80010510v01 | 2100 (UMTS)                   | 28,2                                    | 1783                       |
| 9.  | 330                        | Antena<br>sektorowa<br>80010510v01 | 2100 (UMTS)                   | 27,2                                    | 1783                       |
| EIRP <sub>max</sub> , łącznie ze wszystkich anten sektorowych przedmiotowej instalacji: <b>29 745 [W]</b> . |                            |                                    |                               |   |                            |

*Objaśnienia:*EIRP<sub>max</sub> – wartości max mocy promieniowania równoważnej izotropowo, [W].**Tabela 4**

| <b><u>Zarządzający instalacją:</u></b><br>P4 Sp. z o.o.<br>ul. Taśmowa 7,<br>02-677 Warszawa     |               |                                  |                      |   |                            |
|--|---------------|----------------------------------|----------------------|---|----------------------------|
| <b><u>Nazwa instalacji wg nomenklatury użytkownika:</u></b><br>Stacja bazowa nr: <b>WOD2001A</b> |               |                                  |                      |   |                            |
| <b><u>Lokalizacja:</u></b><br>Dach budynku przy ul. Jana w Wodzisławiu Śląskim                   |               |                                  |                      |   |                            |
| Lp.  | Azymut<br>[°] | Typ anteny                       | Pasmo pracy<br>[MHz] | Wysokość<br>zawieszenia<br>H [m] n.p.t. | EIRP <sub>max</sub><br>[W] |
| 1.   | 20            | Antena<br>sektorowa<br>APE4518R0 | 800                  | 26,7                                    | 310                        |
| 2.   | 130           | Antena<br>sektorowa<br>APE4518R0 | 800                  | 23,9                                    | 618                        |
| 3.   | 235           | Antena<br>sektorowa<br>APE4518R0 | 800                  | 23,9                                    | 618                        |
| 4.   | 20            | Antena<br>sektorowa<br>APE4518R0 | 900                  | 26,7                                    | 661                        |
| 5.   | 130           | Antena<br>sektorowa<br>APE4518R0 | 900                  | 23,9                                    | 661                        |
| 6.   | 235           | Antena<br>sektorowa<br>APE4518R0 | 900                  | 23,9                                    | 661                        |
| 7.   | 20            | Antena<br>sektorowa<br>APE4518R0 | 1800                 | 26,7                                    | 3802                       |
| 8.   | 130           | Antena<br>sektorowa<br>APE4518R0 | 1800                 | 23,9                                    | 3802                       |
| 9.   | 235           | Antena<br>sektorowa<br>APE4518R0 | 1800                 | 23,9                                    | 3802                       |
| 10.  | 20            | Antena<br>sektorowa<br>APE4518R0 | 2100                 | 26,7                                    | 2500                       |
| 11.  | 130           | Antena<br>sektorowa<br>APE4518R0 | 2100                 | 23,9                                    | 2500                       |
| 12.  | 235           | Antena<br>sektorowa<br>APE4518R0 | 2100                 | 23,9                                    | 2500                       |

|   |     |                            |      |      |      |
|---|-----|----------------------------|------|------|------|
| <b>13.</b>  | 20  | Antena sektorowa APE4518R0 | 2600 | 26,7 | 4406 |
| <b>14.</b>  | 130 | Antena sektorowa APE4518R0 | 2600 | 23,9 | 4406 |
| <b>15.</b>  | 235 | Antena sektorowa APE4518R0 | 2600 | 23,9 | 4406 |
| EIRP <sub>max</sub> , łącznie ze wszystkich anten sektorowych instalacji: <b>35 653 [W]</b> |     |                            |      |      |      |



## 7. WYNIKI BADAŃ

### Wyniki pomiarów poziomów pól elektromagnetycznych częstotliwości 100 kHz – 3 GHz (składowej *elektrycznej E*) w środowisku

Tabela 5

| Lp. | Punkt pomiarowy<br>poziomów pól<br>elektromagnetycznych<br>w środowisku                 | Natężenie pola<br>elektrycznego<br>$E^{**}$<br>[V/m] | Niepewność pomiaru<br>$U_{E,0,95}$<br>[V/m] |
|-----|---|--|---|
| 1.  | P-1 (125/PEM/M)<br>Rynek miasta<br>Dzielnica – Śródmieście<br>Miasto – Wodzisław Śląski | 0,84   | ±0,21                                       |

Objaśnienia:

$E^{**}$  [V/m] - średnia wartość arytmetyczna wartości skutecznych natężeń pól elektrycznych promieniowania elektromagnetycznego w zakresie częstotliwości 100 kHz – 3 GHz, w danym punkcie obserwacji, w środowisku.

## 8. ZAŁĄCZNIKI

### 1. Raport pomiarowy

- w postaci elektronicznej, zarchiwizowany w siedzibie Laboratorium WIOŚ;

### 2. Fotografie rejonu badań, szt. 4.

### 3. Szkic sytuacyjny rejonu badań.

| Data wydania:                      |                           |              |
|------------------------------------|---------------------------|--------------|
| Pomiary i sprawozdanie<br>wykonał: | Sprawozdanie autoryzował: | Zatwierdził: |
| .....                              | .....                     | .....        |

## Instrument / Site

| Meter                              | Probe                              |
|------------------------------------|------------------------------------|
| Model: NBM-550<br>S/N: B-0777      | Model: EF0391<br>S/N: A-0882       |
| Calibration Due Date<br>06.08.2011 | Calibration Due Date<br>03.08.2011 |

| Site   | Coordinates   |
|--|---|
| P-1 Rynek<br>Miasto – Wodzisław Śląski<br>Powiat – wodzisławski<br>Województwo - śląskie | Latitude: 50°00'10.3" N<br>Longitude: 18°27'45.0" E |

| Comment  |
|--|
| Pomiary poziomów pól elektromagnetycznych 100 kHz - 3 GHz (składowej elektrycznej E) w środowisku; 23.07.2018 r., Wodzisław Śląski, woj. śląskie;<br>Ryc. Wykres zależności zmian natężenia składowej elektrycznej pola w funkcji czasu, marker - wartość średnia elementarna interwału dT: 10 sec, w przedziale czasokresu obserwacji T: 2.00 h, w środowisku, Program Państwowego Monitoringu Środowiska, 2018 rok |

## Measured Values

---

### Zoomed

Timer: Start Time 10:29:04 AM, Period 2h 0' 0", Interval 10s

| Index | Date/Time              | Zero | Max (E-Field) | Avg (E-Field) | Min (E-Field) |
|-------|------------------------|------|---------------|---------------|---------------|
| 1     | 23.07.2018 10:29:14 AM |      | 0.8653 V/m    | 0.7772 V/m    | 0.6960 V/m    |
| 2     | 23.07.2018 10:29:24 AM |      | 0.8366 V/m    | 0.7629 V/m    | 0.6575 V/m    |
| 3     | 23.07.2018 10:29:34 AM |      | 0.8807 V/m    | 0.7169 V/m    | 0.6347 V/m    |
| 4     | 23.07.2018 10:29:44 AM |      | 0.8218 V/m    | 0.7125 V/m    | 0.6449 V/m    |
| 5     | 23.07.2018 10:29:54 AM |      | 0.8204 V/m    | 0.7463 V/m    | 0.6671 V/m    |
| 6     | 23.07.2018 10:30:04 AM |      | 0.8558 V/m    | 0.7714 V/m    | 0.6837 V/m    |
| 7     | 23.07.2018 10:30:14 AM |      | 0.8366 V/m    | 0.7420 V/m    | 0.6251 V/m    |
| 8     | 23.07.2018 10:30:24 AM |      | 0.7960 V/m    | 0.7411 V/m    | 0.6584 V/m    |
| 9     | 23.07.2018 10:30:34 AM |      | 0.8224 V/m    | 0.7659 V/m    | 0.6893 V/m    |
| 10    | 23.07.2018 10:30:44 AM |      | 0.8448 V/m    | 0.7690 V/m    | 0.6805 V/m    |
| 11    | 23.07.2018 10:30:54 AM |      | 0.8144 V/m    | 0.7657 V/m    | 0.6980 V/m    |
| 12    | 23.07.2018 10:31:04 AM |      | 0.7768 V/m    | 0.7253 V/m    | 0.6658 V/m    |
| 13    | 23.07.2018 10:31:14 AM |      | 0.8197 V/m    | 0.7576 V/m    | 0.6845 V/m    |
| 14    | 23.07.2018 10:31:24 AM |      | 0.7915 V/m    | 0.7022 V/m    | 0.6466 V/m    |
| 15    | 23.07.2018 10:31:34 AM |      | 0.8194 V/m    | 0.7224 V/m    | 0.6449 V/m    |
| 16    | 23.07.2018 10:31:44 AM |      | 0.8204 V/m    | 0.7445 V/m    | 0.6529 V/m    |
| 17    | 23.07.2018 10:31:54 AM |      | 0.8184 V/m    | 0.7826 V/m    | 0.7498 V/m    |
| 18    | 23.07.2018 10:32:04 AM |      | 0.8184 V/m    | 0.7794 V/m    | 0.7517 V/m    |
| 19    | 23.07.2018 10:32:14 AM |      | 0.8008 V/m    | 0.7641 V/m    | 0.7261 V/m    |
| 20    | 23.07.2018 10:32:24 AM |      | 0.8438 V/m    | 0.7871 V/m    | 0.7347 V/m    |
| 21    | 23.07.2018 10:32:34 AM |      | 0.8367 V/m    | 0.7672 V/m    | 0.7150 V/m    |
| 22    | 23.07.2018 10:32:44 AM |      | 0.8615 V/m    | 0.7711 V/m    | 0.6563 V/m    |
| 23    | 23.07.2018 10:32:54 AM |      | 0.8742 V/m    | 0.7731 V/m    | 0.6642 V/m    |
| 24    | 23.07.2018 10:33:04 AM |      | 0.9408 V/m    | 0.8017 V/m    | 0.6964 V/m    |
| 25    | 23.07.2018 10:33:14 AM |      | 0.9410 V/m    | 0.8445 V/m    | 0.7997 V/m    |
| 26    | 23.07.2018 10:33:24 AM |      | 0.8863 V/m    | 0.8047 V/m    | 0.7611 V/m    |
| 27    | 23.07.2018 10:33:34 AM |      | 0.9065 V/m    | 0.8321 V/m    | 0.7618 V/m    |
| 28    | 23.07.2018 10:33:44 AM |      | 0.8919 V/m    | 0.7989 V/m    | 0.7524 V/m    |
| 29    | 23.07.2018 10:33:54 AM |      | 0.8745 V/m    | 0.7657 V/m    | 0.6592 V/m    |
| 30    | 23.07.2018 10:34:04 AM |      | 0.8735 V/m    | 0.8132 V/m    | 0.7658 V/m    |
| 31    | 23.07.2018 10:34:14 AM |      | 0.9396 V/m    | 0.8465 V/m    | 0.7793 V/m    |
| 32    | 23.07.2018 10:34:24 AM |      | 0.9477 V/m    | 0.8843 V/m    | 0.8201 V/m    |
| 33    | 23.07.2018 10:34:34 AM |      | 0.9252 V/m    | 0.8855 V/m    | 0.8373 V/m    |
| 34    | 23.07.2018 10:34:44 AM |      | 0.9257 V/m    | 0.8784 V/m    | 0.8291 V/m    |
| 35    | 23.07.2018 10:34:54 AM |      | 0.9186 V/m    | 0.8605 V/m    | 0.7302 V/m    |
| 36    | 23.07.2018 10:35:04 AM |      | 0.9293 V/m    | 0.8528 V/m    | 0.7600 V/m    |
| 37    | 23.07.2018 10:35:14 AM |      | 0.8925 V/m    | 0.7696 V/m    | 0.7108 V/m    |
| 38    | 23.07.2018 10:35:24 AM |      | 0.8180 V/m    | 0.7620 V/m    | 0.7154 V/m    |
| 39    | 23.07.2018 10:35:34 AM |      | 0.9200 V/m    | 0.8267 V/m    | 0.7564 V/m    |
| 40    | 23.07.2018 10:35:44 AM |      | 0.9578 V/m    | 0.8214 V/m    | 0.7373 V/m    |
| 41    | 23.07.2018 10:35:54 AM |      | 0.8922 V/m    | 0.8326 V/m    | 0.7546 V/m    |
| 42    | 23.07.2018 10:36:04 AM |      | 0.8558 V/m    | 0.7977 V/m    | 0.7455 V/m    |
| 43    | 23.07.2018 10:36:14 AM |      | 0.8773 V/m    | 0.7934 V/m    | 0.7354 V/m    |
| 44    | 23.07.2018 10:36:24 AM |      | 0.8366 V/m    | 0.7837 V/m    | 0.7166 V/m    |
| 45    | 23.07.2018 10:36:34 AM |      | 0.9093 V/m    | 0.8356 V/m    | 0.7568 V/m    |
| 46    | 23.07.2018 10:36:44 AM |      | 0.9126 V/m    | 0.8138 V/m    | 0.7520 V/m    |
| 47    | 23.07.2018 10:36:54 AM |      | 0.9087 V/m    | 0.8139 V/m    | 0.7582 V/m    |
| 48    | 23.07.2018 10:37:04 AM |      | 0.9198 V/m    | 0.8546 V/m    | 0.8083 V/m    |
| 49    | 23.07.2018 10:37:14 AM |      | 0.8866 V/m    | 0.8666 V/m    | 0.8412 V/m    |
| 50    | 23.07.2018 10:37:24 AM |      | 0.8965 V/m    | 0.8351 V/m    | 0.7711 V/m    |
| 51    | 23.07.2018 10:37:34 AM |      | 0.8032 V/m    | 0.7677 V/m    | 0.7351 V/m    |

| Index | Date/Time              | Zero | Max (E-Field) | Avg (E-Field) | Min (E-Field) |
|-------|------------------------|------|---------------|---------------|---------------|
| 52    | 23.07.2018 10:37:44 AM |      | 0.8519 V/m    | 0.7890 V/m    | 0.7340 V/m    |
| 53    | 23.07.2018 10:37:54 AM |      | 0.8187 V/m    | 0.7862 V/m    | 0.7499 V/m    |
| 54    | 23.07.2018 10:38:04 AM |      | 0.8622 V/m    | 0.7851 V/m    | 0.7131 V/m    |
| 55    | 23.07.2018 10:38:14 AM |      | 0.8907 V/m    | 0.8033 V/m    | 0.7600 V/m    |
| 56    | 23.07.2018 10:38:24 AM |      | 0.8261 V/m    | 0.7792 V/m    | 0.7399 V/m    |
| 57    | 23.07.2018 10:38:34 AM |      | 0.7987 V/m    | 0.7643 V/m    | 0.7410 V/m    |
| 58    | 23.07.2018 10:38:44 AM |      | 0.7953 V/m    | 0.7709 V/m    | 0.7546 V/m    |
| 59    | 23.07.2018 10:38:54 AM |      | 0.8160 V/m    | 0.7692 V/m    | 0.7328 V/m    |
| 60    | 23.07.2018 10:39:04 AM |      | 0.8644 V/m    | 0.7920 V/m    | 0.7242 V/m    |
| 61    | 23.07.2018 10:39:14 AM |      | 0.8539 V/m    | 0.8053 V/m    | 0.7615 V/m    |
| 62    | 23.07.2018 10:39:24 AM |      | 0.8389 V/m    | 0.7990 V/m    | 0.7683 V/m    |
| 63    | 23.07.2018 10:39:34 AM |      | 0.8224 V/m    | 0.7852 V/m    | 0.7539 V/m    |
| 64    | 23.07.2018 10:39:44 AM |      | 0.8441 V/m    | 0.7902 V/m    | 0.7469 V/m    |
| 65    | 23.07.2018 10:39:54 AM |      | 0.8320 V/m    | 0.7705 V/m    | 0.7399 V/m    |
| 66    | 23.07.2018 10:40:04 AM |      | 0.8866 V/m    | 0.8105 V/m    | 0.7462 V/m    |
| 67    | 23.07.2018 10:40:14 AM |      | 0.8008 V/m    | 0.7605 V/m    | 0.7351 V/m    |
| 68    | 23.07.2018 10:40:24 AM |      | 0.8257 V/m    | 0.7795 V/m    | 0.7462 V/m    |
| 69    | 23.07.2018 10:40:34 AM |      | 0.8304 V/m    | 0.7810 V/m    | 0.7506 V/m    |
| 70    | 23.07.2018 10:40:44 AM |      | 0.9017 V/m    | 0.8083 V/m    | 0.7403 V/m    |
| 71    | 23.07.2018 10:40:54 AM |      | 0.8150 V/m    | 0.7671 V/m    | 0.7399 V/m    |
| 72    | 23.07.2018 10:41:04 AM |      | 0.8214 V/m    | 0.7818 V/m    | 0.7455 V/m    |
| 73    | 23.07.2018 10:41:14 AM |      | 0.8919 V/m    | 0.8104 V/m    | 0.7455 V/m    |
| 74    | 23.07.2018 10:41:24 AM |      | 0.9011 V/m    | 0.8356 V/m    | 0.7611 V/m    |
| 75    | 23.07.2018 10:41:34 AM |      | 0.8833 V/m    | 0.7864 V/m    | 0.7328 V/m    |
| 76    | 23.07.2018 10:41:44 AM |      | 0.8864 V/m    | 0.7745 V/m    | 0.7177 V/m    |
| 77    | 23.07.2018 10:41:54 AM |      | 0.8287 V/m    | 0.7858 V/m    | 0.6976 V/m    |
| 78    | 23.07.2018 10:42:04 AM |      | 0.8647 V/m    | 0.7530 V/m    | 0.6475 V/m    |
| 79    | 23.07.2018 10:42:14 AM |      | 0.8493 V/m    | 0.7597 V/m    | 0.6368 V/m    |
| 80    | 23.07.2018 10:42:24 AM |      | 0.8625 V/m    | 0.7681 V/m    | 0.6394 V/m    |
| 81    | 23.07.2018 10:42:34 AM |      | 0.8370 V/m    | 0.7899 V/m    | 0.6944 V/m    |
| 82    | 23.07.2018 10:42:44 AM |      | 0.8638 V/m    | 0.8322 V/m    | 0.7824 V/m    |
| 83    | 23.07.2018 10:42:54 AM |      | 0.8503 V/m    | 0.7814 V/m    | 0.6683 V/m    |
| 84    | 23.07.2018 10:43:04 AM |      | 0.8130 V/m    | 0.7569 V/m    | 0.6584 V/m    |
| 85    | 23.07.2018 10:43:14 AM |      | 0.8314 V/m    | 0.7486 V/m    | 0.6368 V/m    |
| 86    | 23.07.2018 10:43:24 AM |      | 0.8885 V/m    | 0.7824 V/m    | 0.6592 V/m    |
| 87    | 23.07.2018 10:43:34 AM |      | 0.8632 V/m    | 0.7211 V/m    | 0.6282 V/m    |
| 88    | 23.07.2018 10:43:44 AM |      | 0.8770 V/m    | 0.7945 V/m    | 0.6621 V/m    |
| 89    | 23.07.2018 10:43:54 AM |      | 0.8523 V/m    | 0.7539 V/m    | 0.6428 V/m    |
| 90    | 23.07.2018 10:44:04 AM |      | 0.8399 V/m    | 0.7349 V/m    | 0.6411 V/m    |
| 91    | 23.07.2018 10:44:14 AM |      | 0.8164 V/m    | 0.7536 V/m    | 0.6793 V/m    |
| 92    | 23.07.2018 10:44:24 AM |      | 0.8278 V/m    | 0.7713 V/m    | 0.7162 V/m    |
| 93    | 23.07.2018 10:44:34 AM |      | 0.9117 V/m    | 0.7747 V/m    | 0.6462 V/m    |
| 94    | 23.07.2018 10:44:44 AM |      | 0.8567 V/m    | 0.7505 V/m    | 0.6584 V/m    |
| 95    | 23.07.2018 10:44:54 AM |      | 0.8708 V/m    | 0.7829 V/m    | 0.7162 V/m    |
| 96    | 23.07.2018 10:45:04 AM |      | 0.8682 V/m    | 0.7624 V/m    | 0.6952 V/m    |
| 97    | 23.07.2018 10:45:14 AM |      | 0.8448 V/m    | 0.7679 V/m    | 0.6825 V/m    |
| 98    | 23.07.2018 10:45:24 AM |      | 0.8707 V/m    | 0.8123 V/m    | 0.7550 V/m    |
| 99    | 23.07.2018 10:45:34 AM |      | 0.8919 V/m    | 0.7872 V/m    | 0.6897 V/m    |
| 100   | 23.07.2018 10:45:44 AM |      | 0.8810 V/m    | 0.7913 V/m    | 0.6941 V/m    |
| 101   | 23.07.2018 10:45:54 AM |      | 0.8161 V/m    | 0.7474 V/m    | 0.6720 V/m    |
| 102   | 23.07.2018 10:46:04 AM |      | 0.8898 V/m    | 0.7588 V/m    | 0.6777 V/m    |
| 103   | 23.07.2018 10:46:14 AM |      | 0.8535 V/m    | 0.7712 V/m    | 0.6551 V/m    |
| 104   | 23.07.2018 10:46:24 AM |      | 0.8820 V/m    | 0.8031 V/m    | 0.7502 V/m    |
| 105   | 23.07.2018 10:46:34 AM |      | 0.8454 V/m    | 0.7742 V/m    | 0.6801 V/m    |
| 106   | 23.07.2018 10:46:44 AM |      | 0.8910 V/m    | 0.7377 V/m    | 0.6496 V/m    |
| 107   | 23.07.2018 10:46:54 AM |      | 0.8191 V/m    | 0.7533 V/m    | 0.7128 V/m    |
| 108   | 23.07.2018 10:47:04 AM |      | 0.8429 V/m    | 0.7685 V/m    | 0.7027 V/m    |

| Index | Date/Time              | Zero | Max (E-Field) | Avg (E-Field) | Min (E-Field) |
|-------|------------------------|------|---------------|---------------|---------------|
| 109   | 23.07.2018 10:47:14 AM |      | 0.8935 V/m    | 0.8214 V/m    | 0.7074 V/m    |
| 110   | 23.07.2018 10:47:24 AM |      | 0.9331 V/m    | 0.8352 V/m    | 0.7310 V/m    |
| 111   | 23.07.2018 10:47:34 AM |      | 0.9051 V/m    | 0.8099 V/m    | 0.7373 V/m    |
| 112   | 23.07.2018 10:47:44 AM |      | 0.8641 V/m    | 0.8025 V/m    | 0.7542 V/m    |
| 113   | 23.07.2018 10:47:54 AM |      | 0.8888 V/m    | 0.7932 V/m    | 0.7388 V/m    |
| 114   | 23.07.2018 10:48:04 AM |      | 0.8779 V/m    | 0.7977 V/m    | 0.7557 V/m    |
| 115   | 23.07.2018 10:48:14 AM |      | 0.8873 V/m    | 0.8513 V/m    | 0.8066 V/m    |
| 116   | 23.07.2018 10:48:24 AM |      | 0.8817 V/m    | 0.7900 V/m    | 0.7070 V/m    |
| 117   | 23.07.2018 10:48:34 AM |      | 0.8513 V/m    | 0.7438 V/m    | 0.6789 V/m    |
| 118   | 23.07.2018 10:48:44 AM |      | 0.9075 V/m    | 0.7634 V/m    | 0.6744 V/m    |
| 119   | 23.07.2018 10:48:54 AM |      | 0.8583 V/m    | 0.7527 V/m    | 0.6805 V/m    |
| 120   | 23.07.2018 10:49:04 AM |      | 0.8574 V/m    | 0.7509 V/m    | 0.6526 V/m    |
| 121   | 23.07.2018 10:49:14 AM |      | 0.8861 V/m    | 0.7950 V/m    | 0.6984 V/m    |
| 122   | 23.07.2018 10:49:24 AM |      | 0.8464 V/m    | 0.7542 V/m    | 0.6881 V/m    |
| 123   | 23.07.2018 10:49:34 AM |      | 0.8519 V/m    | 0.8051 V/m    | 0.7451 V/m    |
| 124   | 23.07.2018 10:49:44 AM |      | 0.8717 V/m    | 0.8181 V/m    | 0.7477 V/m    |
| 125   | 23.07.2018 10:49:54 AM |      | 0.8628 V/m    | 0.8058 V/m    | 0.7231 V/m    |
| 126   | 23.07.2018 10:50:04 AM |      | 0.8666 V/m    | 0.7884 V/m    | 0.7062 V/m    |
| 127   | 23.07.2018 10:50:14 AM |      | 0.8987 V/m    | 0.8278 V/m    | 0.7227 V/m    |
| 128   | 23.07.2018 10:50:24 AM |      | 0.8870 V/m    | 0.8137 V/m    | 0.6765 V/m    |
| 129   | 23.07.2018 10:50:34 AM |      | 0.8484 V/m    | 0.7540 V/m    | 0.6625 V/m    |
| 130   | 23.07.2018 10:50:44 AM |      | 0.9042 V/m    | 0.8016 V/m    | 0.6817 V/m    |
| 131   | 23.07.2018 10:50:54 AM |      | 0.8300 V/m    | 0.7398 V/m    | 0.6732 V/m    |
| 132   | 23.07.2018 10:51:04 AM |      | 0.8962 V/m    | 0.7915 V/m    | 0.6960 V/m    |
| 133   | 23.07.2018 10:51:14 AM |      | 0.8603 V/m    | 0.7576 V/m    | 0.6817 V/m    |
| 134   | 23.07.2018 10:51:24 AM |      | 0.8773 V/m    | 0.7921 V/m    | 0.7185 V/m    |
| 135   | 23.07.2018 10:51:34 AM |      | 0.8497 V/m    | 0.7726 V/m    | 0.6700 V/m    |
| 136   | 23.07.2018 10:51:44 AM |      | 0.9111 V/m    | 0.8372 V/m    | 0.7626 V/m    |
| 137   | 23.07.2018 10:51:54 AM |      | 0.9144 V/m    | 0.7497 V/m    | 0.6403 V/m    |
| 138   | 23.07.2018 10:52:04 AM |      | 0.9011 V/m    | 0.8526 V/m    | 0.7764 V/m    |
| 139   | 23.07.2018 10:52:14 AM |      | 0.8820 V/m    | 0.8352 V/m    | 0.7532 V/m    |
| 140   | 23.07.2018 10:52:24 AM |      | 0.9020 V/m    | 0.8511 V/m    | 0.7894 V/m    |
| 141   | 23.07.2018 10:52:34 AM |      | 0.8742 V/m    | 0.8397 V/m    | 0.7856 V/m    |
| 142   | 23.07.2018 10:52:44 AM |      | 0.9035 V/m    | 0.8313 V/m    | 0.7302 V/m    |
| 143   | 23.07.2018 10:52:54 AM |      | 0.8888 V/m    | 0.8059 V/m    | 0.7366 V/m    |
| 144   | 23.07.2018 10:53:04 AM |      | 0.8925 V/m    | 0.8217 V/m    | 0.7238 V/m    |
| 145   | 23.07.2018 10:53:14 AM |      | 0.8522 V/m    | 0.8193 V/m    | 0.7466 V/m    |
| 146   | 23.07.2018 10:53:24 AM |      | 0.8931 V/m    | 0.8101 V/m    | 0.7362 V/m    |
| 147   | 23.07.2018 10:53:34 AM |      | 0.8739 V/m    | 0.8232 V/m    | 0.7835 V/m    |
| 148   | 23.07.2018 10:53:44 AM |      | 0.8981 V/m    | 0.8285 V/m    | 0.7607 V/m    |
| 149   | 23.07.2018 10:53:54 AM |      | 0.9008 V/m    | 0.7874 V/m    | 0.6964 V/m    |
| 150   | 23.07.2018 10:54:04 AM |      | 0.9302 V/m    | 0.8429 V/m    | 0.7726 V/m    |
| 151   | 23.07.2018 10:54:14 AM |      | 0.8999 V/m    | 0.8495 V/m    | 0.8049 V/m    |
| 152   | 23.07.2018 10:54:24 AM |      | 0.8922 V/m    | 0.8462 V/m    | 0.7765 V/m    |
| 153   | 23.07.2018 10:54:34 AM |      | 0.8968 V/m    | 0.8615 V/m    | 0.8141 V/m    |
| 154   | 23.07.2018 10:54:44 AM |      | 0.9384 V/m    | 0.8552 V/m    | 0.7611 V/m    |
| 155   | 23.07.2018 10:54:54 AM |      | 0.8736 V/m    | 0.8124 V/m    | 0.6925 V/m    |
| 156   | 23.07.2018 10:55:04 AM |      | 0.9698 V/m    | 0.8318 V/m    | 0.7124 V/m    |
| 157   | 23.07.2018 10:55:14 AM |      | 0.8919 V/m    | 0.7829 V/m    | 0.6881 V/m    |
| 158   | 23.07.2018 10:55:24 AM |      | 0.8660 V/m    | 0.7483 V/m    | 0.6789 V/m    |
| 159   | 23.07.2018 10:55:34 AM |      | 0.8708 V/m    | 0.7730 V/m    | 0.6547 V/m    |
| 160   | 23.07.2018 10:55:44 AM |      | 0.8919 V/m    | 0.7643 V/m    | 0.6720 V/m    |
| 161   | 23.07.2018 10:55:54 AM |      | 0.9316 V/m    | 0.7880 V/m    | 0.7462 V/m    |
| 162   | 23.07.2018 10:56:04 AM |      | 0.8996 V/m    | 0.8077 V/m    | 0.7399 V/m    |
| 163   | 23.07.2018 10:56:14 AM |      | 0.8947 V/m    | 0.8441 V/m    | 0.7988 V/m    |
| 164   | 23.07.2018 10:56:24 AM |      | 0.8474 V/m    | 0.7870 V/m    | 0.7162 V/m    |
| 165   | 23.07.2018 10:56:34 AM |      | 0.8767 V/m    | 0.8032 V/m    | 0.7295 V/m    |

| <u>Index</u> | <u>Date/Time</u>       | <u>Zero</u> | <u>Max (E-Field)</u> | <u>Avg (E-Field)</u> | <u>Min (E-Field)</u> |
|--------------|------------------------|-------------|----------------------|----------------------|----------------------|
| 166          | 23.07.2018 10:56:44 AM |             | 0.8814 V/m           | 0.8169 V/m           | 0.7366 V/m           |
| 167          | 23.07.2018 10:56:54 AM |             | 0.9296 V/m           | 0.8027 V/m           | 0.7506 V/m           |
| 168          | 23.07.2018 10:57:04 AM |             | 0.9407 V/m           | 0.8479 V/m           | 0.7849 V/m           |
| 169          | 23.07.2018 10:57:14 AM |             | 0.9017 V/m           | 0.8249 V/m           | 0.7384 V/m           |
| 170          | 23.07.2018 10:57:24 AM |             | 0.8554 V/m           | 0.7972 V/m           | 0.7143 V/m           |
| 171          | 23.07.2018 10:57:34 AM |             | 0.8380 V/m           | 0.7612 V/m           | 0.6849 V/m           |
| 172          | 23.07.2018 10:57:44 AM |             | 0.8241 V/m           | 0.7523 V/m           | 0.6551 V/m           |
| 173          | 23.07.2018 10:57:54 AM |             | 0.9222 V/m           | 0.8163 V/m           | 0.6592 V/m           |
| 174          | 23.07.2018 10:58:04 AM |             | 0.8625 V/m           | 0.7728 V/m           | 0.6945 V/m           |
| 175          | 23.07.2018 10:58:14 AM |             | 0.8925 V/m           | 0.7882 V/m           | 0.7147 V/m           |
| 176          | 23.07.2018 10:58:24 AM |             | 0.8688 V/m           | 0.7862 V/m           | 0.6945 V/m           |
| 177          | 23.07.2018 10:58:34 AM |             | 0.8922 V/m           | 0.8186 V/m           | 0.7047 V/m           |
| 178          | 23.07.2018 10:58:44 AM |             | 0.9026 V/m           | 0.8506 V/m           | 0.8029 V/m           |
| 179          | 23.07.2018 10:58:54 AM |             | 0.9328 V/m           | 0.8948 V/m           | 0.8660 V/m           |
| 180          | 23.07.2018 10:59:04 AM |             | 0.9463 V/m           | 0.9042 V/m           | 0.8609 V/m           |
| 181          | 23.07.2018 10:59:14 AM |             | 0.8999 V/m           | 0.8482 V/m           | 0.8019 V/m           |
| 182          | 23.07.2018 10:59:24 AM |             | 0.9213 V/m           | 0.8532 V/m           | 0.7898 V/m           |
| 183          | 23.07.2018 10:59:34 AM |             | 0.8953 V/m           | 0.8257 V/m           | 0.7768 V/m           |
| 184          | 23.07.2018 10:59:44 AM |             | 0.8298 V/m           | 0.7868 V/m           | 0.7473 V/m           |
| 185          | 23.07.2018 10:59:54 AM |             | 0.8717 V/m           | 0.8258 V/m           | 0.7877 V/m           |
| 186          | 23.07.2018 11:00:04 AM |             | 0.8932 V/m           | 0.8143 V/m           | 0.7622 V/m           |
| 187          | 23.07.2018 11:00:14 AM |             | 0.8465 V/m           | 0.8048 V/m           | 0.7629 V/m           |
| 188          | 23.07.2018 11:00:24 AM |             | 0.8609 V/m           | 0.8084 V/m           | 0.7665 V/m           |
| 189          | 23.07.2018 11:00:34 AM |             | 0.8941 V/m           | 0.8527 V/m           | 0.8127 V/m           |
| 190          | 23.07.2018 11:00:44 AM |             | 0.9120 V/m           | 0.8616 V/m           | 0.8077 V/m           |
| 191          | 23.07.2018 11:00:54 AM |             | 0.9005 V/m           | 0.8434 V/m           | 0.7998 V/m           |
| 192          | 23.07.2018 11:01:04 AM |             | 0.8864 V/m           | 0.8045 V/m           | 0.7470 V/m           |
| 193          | 23.07.2018 11:01:14 AM |             | 0.9009 V/m           | 0.8250 V/m           | 0.7672 V/m           |
| 194          | 23.07.2018 11:01:24 AM |             | 0.9231 V/m           | 0.8050 V/m           | 0.7197 V/m           |
| 195          | 23.07.2018 11:01:34 AM |             | 0.9183 V/m           | 0.8155 V/m           | 0.7085 V/m           |
| 196          | 23.07.2018 11:01:44 AM |             | 0.8984 V/m           | 0.8417 V/m           | 0.7223 V/m           |
| 197          | 23.07.2018 11:01:54 AM |             | 0.9087 V/m           | 0.8574 V/m           | 0.7971 V/m           |
| 198          | 23.07.2018 11:02:04 AM |             | 0.9044 V/m           | 0.8395 V/m           | 0.7719 V/m           |
| 199          | 23.07.2018 11:02:14 AM |             | 0.8814 V/m           | 0.7803 V/m           | 0.6881 V/m           |
| 200          | 23.07.2018 11:02:24 AM |             | 0.8799 V/m           | 0.7777 V/m           | 0.6809 V/m           |
| 201          | 23.07.2018 11:02:34 AM |             | 0.8367 V/m           | 0.7680 V/m           | 0.6921 V/m           |
| 202          | 23.07.2018 11:02:44 AM |             | 0.9023 V/m           | 0.8293 V/m           | 0.7291 V/m           |
| 203          | 23.07.2018 11:02:54 AM |             | 0.8993 V/m           | 0.8063 V/m           | 0.7459 V/m           |
| 204          | 23.07.2018 11:03:04 AM |             | 0.8043 V/m           | 0.7761 V/m           | 0.7235 V/m           |
| 205          | 23.07.2018 11:03:14 AM |             | 0.9055 V/m           | 0.7862 V/m           | 0.7295 V/m           |
| 206          | 23.07.2018 11:03:24 AM |             | 0.9637 V/m           | 0.8928 V/m           | 0.8359 V/m           |
| 207          | 23.07.2018 11:03:34 AM |             | 0.9487 V/m           | 0.8783 V/m           | 0.8326 V/m           |
| 208          | 23.07.2018 11:03:44 AM |             | 0.9677 V/m           | 0.8937 V/m           | 0.8538 V/m           |
| 209          | 23.07.2018 11:03:54 AM |             | 0.9462 V/m           | 0.8658 V/m           | 0.8109 V/m           |
| 210          | 23.07.2018 11:04:04 AM |             | 0.9676 V/m           | 0.8873 V/m           | 0.8402 V/m           |
| 211          | 23.07.2018 11:04:14 AM |             | 1.007 V/m            | 0.9101 V/m           | 0.8346 V/m           |
| 212          | 23.07.2018 11:04:24 AM |             | 0.9953 V/m           | 0.8715 V/m           | 0.7758 V/m           |
| 213          | 23.07.2018 11:04:34 AM |             | 0.9987 V/m           | 0.9394 V/m           | 0.8621 V/m           |
| 214          | 23.07.2018 11:04:44 AM |             | 0.9840 V/m           | 0.9082 V/m           | 0.8007 V/m           |
| 215          | 23.07.2018 11:04:54 AM |             | 0.9357 V/m           | 0.8793 V/m           | 0.8297 V/m           |
| 216          | 23.07.2018 11:05:04 AM |             | 0.9645 V/m           | 0.9175 V/m           | 0.8709 V/m           |
| 217          | 23.07.2018 11:05:14 AM |             | 0.9170 V/m           | 0.8540 V/m           | 0.7764 V/m           |
| 218          | 23.07.2018 11:05:24 AM |             | 0.9580 V/m           | 0.8528 V/m           | 0.7869 V/m           |
| 219          | 23.07.2018 11:05:34 AM |             | 0.9083 V/m           | 0.8835 V/m           | 0.8528 V/m           |
| 220          | 23.07.2018 11:05:44 AM |             | 0.9940 V/m           | 0.9270 V/m           | 0.8725 V/m           |
| 221          | 23.07.2018 11:05:54 AM |             | 1.003 V/m            | 0.9444 V/m           | 0.8691 V/m           |
| 222          | 23.07.2018 11:06:04 AM |             | 0.9884 V/m           | 0.9083 V/m           | 0.7820 V/m           |

| Index | Date/Time              | Zero | Max (E-Field) | Avg (E-Field) | Min (E-Field) |
|-------|------------------------|------|---------------|---------------|---------------|
| 223   | 23.07.2018 11:06:14 AM |      | 0.9394 V/m    | 0.8532 V/m    | 0.7820 V/m    |
| 224   | 23.07.2018 11:06:24 AM |      | 0.9508 V/m    | 0.8367 V/m    | 0.7447 V/m    |
| 225   | 23.07.2018 11:06:34 AM |      | 0.9520 V/m    | 0.9034 V/m    | 0.8303 V/m    |
| 226   | 23.07.2018 11:06:44 AM |      | 0.9943 V/m    | 0.9521 V/m    | 0.8998 V/m    |
| 227   | 23.07.2018 11:06:54 AM |      | 0.9617 V/m    | 0.9262 V/m    | 0.8593 V/m    |
| 228   | 23.07.2018 11:07:04 AM |      | 0.9694 V/m    | 0.9209 V/m    | 0.8300 V/m    |
| 229   | 23.07.2018 11:07:14 AM |      | 0.9876 V/m    | 0.9332 V/m    | 0.8602 V/m    |
| 230   | 23.07.2018 11:07:24 AM |      | 0.9887 V/m    | 0.9658 V/m    | 0.9339 V/m    |
| 231   | 23.07.2018 11:07:34 AM |      | 0.9887 V/m    | 0.9470 V/m    | 0.9158 V/m    |
| 232   | 23.07.2018 11:07:44 AM |      | 0.9603 V/m    | 0.8890 V/m    | 0.8519 V/m    |
| 233   | 23.07.2018 11:07:54 AM |      | 0.9565 V/m    | 0.9084 V/m    | 0.8535 V/m    |
| 234   | 23.07.2018 11:08:04 AM |      | 0.9505 V/m    | 0.9078 V/m    | 0.8525 V/m    |
| 235   | 23.07.2018 11:08:14 AM |      | 0.9923 V/m    | 0.8769 V/m    | 0.7700 V/m    |
| 236   | 23.07.2018 11:08:24 AM |      | 0.8797 V/m    | 0.8178 V/m    | 0.7143 V/m    |
| 237   | 23.07.2018 11:08:34 AM |      | 0.9098 V/m    | 0.8684 V/m    | 0.7935 V/m    |
| 238   | 23.07.2018 11:08:44 AM |      | 0.9496 V/m    | 0.8901 V/m    | 0.8323 V/m    |
| 239   | 23.07.2018 11:08:54 AM |      | 0.9019 V/m    | 0.8603 V/m    | 0.7827 V/m    |
| 240   | 23.07.2018 11:09:04 AM |      | 0.8776 V/m    | 0.8169 V/m    | 0.7362 V/m    |
| 241   | 23.07.2018 11:09:14 AM |      | 0.9007 V/m    | 0.8255 V/m    | 0.7454 V/m    |
| 242   | 23.07.2018 11:09:24 AM |      | 0.9645 V/m    | 0.8574 V/m    | 0.7771 V/m    |
| 243   | 23.07.2018 11:09:34 AM |      | 0.9016 V/m    | 0.8439 V/m    | 0.7643 V/m    |
| 244   | 23.07.2018 11:09:44 AM |      | 0.9487 V/m    | 0.8805 V/m    | 0.7973 V/m    |
| 245   | 23.07.2018 11:09:54 AM |      | 1.054 V/m     | 0.9318 V/m    | 0.8643 V/m    |
| 246   | 23.07.2018 11:10:04 AM |      | 0.9253 V/m    | 0.8635 V/m    | 0.7831 V/m    |
| 247   | 23.07.2018 11:10:14 AM |      | 0.9227 V/m    | 0.8519 V/m    | 0.7834 V/m    |
| 248   | 23.07.2018 11:10:24 AM |      | 0.9236 V/m    | 0.8481 V/m    | 0.7491 V/m    |
| 249   | 23.07.2018 11:10:34 AM |      | 0.9268 V/m    | 0.8584 V/m    | 0.7757 V/m    |
| 250   | 23.07.2018 11:10:44 AM |      | 1.001 V/m     | 0.9254 V/m    | 0.7855 V/m    |
| 251   | 23.07.2018 11:10:54 AM |      | 1.019 V/m     | 0.9436 V/m    | 0.9016 V/m    |
| 252   | 23.07.2018 11:11:04 AM |      | 0.9600 V/m    | 0.9013 V/m    | 0.8409 V/m    |
| 253   | 23.07.2018 11:11:14 AM |      | 0.9617 V/m    | 0.9096 V/m    | 0.8615 V/m    |
| 254   | 23.07.2018 11:11:24 AM |      | 1.020 V/m     | 0.9477 V/m    | 0.8924 V/m    |
| 255   | 23.07.2018 11:11:34 AM |      | 1.037 V/m     | 0.9520 V/m    | 0.8869 V/m    |
| 256   | 23.07.2018 11:11:44 AM |      | 0.9904 V/m    | 0.9192 V/m    | 0.8320 V/m    |
| 257   | 23.07.2018 11:11:54 AM |      | 0.9056 V/m    | 0.8603 V/m    | 0.8086 V/m    |
| 258   | 23.07.2018 11:12:04 AM |      | 0.9312 V/m    | 0.8670 V/m    | 0.8120 V/m    |
| 259   | 23.07.2018 11:12:14 AM |      | 0.9697 V/m    | 0.8912 V/m    | 0.7707 V/m    |
| 260   | 23.07.2018 11:12:24 AM |      | 0.9007 V/m    | 0.8483 V/m    | 0.7754 V/m    |
| 261   | 23.07.2018 11:12:34 AM |      | 0.9479 V/m    | 0.8056 V/m    | 0.7131 V/m    |
| 262   | 23.07.2018 11:12:44 AM |      | 0.9046 V/m    | 0.8013 V/m    | 0.7085 V/m    |
| 263   | 23.07.2018 11:12:54 AM |      | 0.8838 V/m    | 0.8306 V/m    | 0.7403 V/m    |
| 264   | 23.07.2018 11:13:04 AM |      | 0.8878 V/m    | 0.7950 V/m    | 0.7139 V/m    |
| 265   | 23.07.2018 11:13:14 AM |      | 0.8977 V/m    | 0.8465 V/m    | 0.7739 V/m    |
| 266   | 23.07.2018 11:13:24 AM |      | 0.9232 V/m    | 0.8811 V/m    | 0.8405 V/m    |
| 267   | 23.07.2018 11:13:34 AM |      | 0.9351 V/m    | 0.8672 V/m    | 0.8110 V/m    |
| 268   | 23.07.2018 11:13:44 AM |      | 0.8977 V/m    | 0.8656 V/m    | 0.8399 V/m    |
| 269   | 23.07.2018 11:13:54 AM |      | 0.9336 V/m    | 0.8850 V/m    | 0.8405 V/m    |
| 270   | 23.07.2018 11:14:04 AM |      | 0.9271 V/m    | 0.8876 V/m    | 0.8333 V/m    |
| 271   | 23.07.2018 11:14:14 AM |      | 0.8992 V/m    | 0.8562 V/m    | 0.7821 V/m    |
| 272   | 23.07.2018 11:14:24 AM |      | 0.8678 V/m    | 0.8155 V/m    | 0.7254 V/m    |
| 273   | 23.07.2018 11:14:34 AM |      | 0.9965 V/m    | 0.8992 V/m    | 0.7246 V/m    |
| 274   | 23.07.2018 11:14:44 AM |      | 0.9929 V/m    | 0.9366 V/m    | 0.8392 V/m    |
| 275   | 23.07.2018 11:14:54 AM |      | 0.9597 V/m    | 0.9038 V/m    | 0.8014 V/m    |
| 276   | 23.07.2018 11:15:04 AM |      | 0.9037 V/m    | 0.8244 V/m    | 0.7491 V/m    |
| 277   | 23.07.2018 11:15:14 AM |      | 0.9119 V/m    | 0.8474 V/m    | 0.7862 V/m    |
| 278   | 23.07.2018 11:15:24 AM |      | 0.9733 V/m    | 0.8487 V/m    | 0.7665 V/m    |
| 279   | 23.07.2018 11:15:34 AM |      | 0.9614 V/m    | 0.9024 V/m    | 0.8522 V/m    |

| <u>Index</u> | <u>Date/Time</u>       | <u>Zero</u> | <u>Max (E-Field)</u> | <u>Avg (E-Field)</u> | <u>Min (E-Field)</u> |
|--------------|------------------------|-------------|----------------------|----------------------|----------------------|
| 280          | 23.07.2018 11:15:44 AM |             | 0.9432 V/m           | 0.8619 V/m           | 0.7336 V/m           |
| 281          | 23.07.2018 11:15:54 AM |             | 0.8912 V/m           | 0.8300 V/m           | 0.7325 V/m           |
| 282          | 23.07.2018 11:16:04 AM |             | 0.8928 V/m           | 0.8623 V/m           | 0.8237 V/m           |
| 283          | 23.07.2018 11:16:14 AM |             | 0.9517 V/m           | 0.8930 V/m           | 0.8503 V/m           |
| 284          | 23.07.2018 11:16:24 AM |             | 0.9380 V/m           | 0.8789 V/m           | 0.7988 V/m           |
| 285          | 23.07.2018 11:16:34 AM |             | 0.9218 V/m           | 0.8727 V/m           | 0.8307 V/m           |
| 286          | 23.07.2018 11:16:44 AM |             | 0.9068 V/m           | 0.8665 V/m           | 0.7651 V/m           |
| 287          | 23.07.2018 11:16:54 AM |             | 0.9348 V/m           | 0.8958 V/m           | 0.8402 V/m           |
| 288          | 23.07.2018 11:17:04 AM |             | 0.9634 V/m           | 0.9182 V/m           | 0.8522 V/m           |
| 289          | 23.07.2018 11:17:14 AM |             | 0.9560 V/m           | 0.9143 V/m           | 0.8551 V/m           |
| 290          | 23.07.2018 11:17:24 AM |             | 0.9377 V/m           | 0.8819 V/m           | 0.8204 V/m           |
| 291          | 23.07.2018 11:17:34 AM |             | 0.9280 V/m           | 0.8578 V/m           | 0.7498 V/m           |
| 292          | 23.07.2018 11:17:44 AM |             | 0.9543 V/m           | 0.8381 V/m           | 0.7177 V/m           |
| 293          | 23.07.2018 11:17:54 AM |             | 0.9236 V/m           | 0.8738 V/m           | 0.8310 V/m           |
| 294          | 23.07.2018 11:18:04 AM |             | 0.9759 V/m           | 0.8924 V/m           | 0.8369 V/m           |
| 295          | 23.07.2018 11:18:14 AM |             | 0.9173 V/m           | 0.8363 V/m           | 0.7104 V/m           |
| 296          | 23.07.2018 11:18:24 AM |             | 0.9315 V/m           | 0.8704 V/m           | 0.7835 V/m           |
| 297          | 23.07.2018 11:18:34 AM |             | 0.9427 V/m           | 0.8452 V/m           | 0.7725 V/m           |
| 298          | 23.07.2018 11:18:44 AM |             | 0.9392 V/m           | 0.8618 V/m           | 0.8167 V/m           |
| 299          | 23.07.2018 11:18:54 AM |             | 0.9528 V/m           | 0.8092 V/m           | 0.7524 V/m           |
| 300          | 23.07.2018 11:19:04 AM |             | 0.8918 V/m           | 0.8407 V/m           | 0.7657 V/m           |
| 301          | 23.07.2018 11:19:14 AM |             | 0.9594 V/m           | 0.8671 V/m           | 0.7997 V/m           |
| 302          | 23.07.2018 11:19:24 AM |             | 0.9505 V/m           | 0.8717 V/m           | 0.7935 V/m           |
| 303          | 23.07.2018 11:19:34 AM |             | 0.9342 V/m           | 0.8583 V/m           | 0.7538 V/m           |
| 304          | 23.07.2018 11:19:44 AM |             | 0.9203 V/m           | 0.8290 V/m           | 0.7650 V/m           |
| 305          | 23.07.2018 11:19:54 AM |             | 0.9059 V/m           | 0.8598 V/m           | 0.8028 V/m           |
| 306          | 23.07.2018 11:20:04 AM |             | 0.9804 V/m           | 0.8515 V/m           | 0.7771 V/m           |
| 307          | 23.07.2018 11:20:14 AM |             | 0.9767 V/m           | 0.8722 V/m           | 0.7862 V/m           |
| 308          | 23.07.2018 11:20:24 AM |             | 0.9665 V/m           | 0.9073 V/m           | 0.8184 V/m           |
| 309          | 23.07.2018 11:20:34 AM |             | 0.9421 V/m           | 0.8443 V/m           | 0.7506 V/m           |
| 310          | 23.07.2018 11:20:44 AM |             | 0.9242 V/m           | 0.8486 V/m           | 0.7838 V/m           |
| 311          | 23.07.2018 11:20:54 AM |             | 0.9781 V/m           | 0.8941 V/m           | 0.7953 V/m           |
| 312          | 23.07.2018 11:21:04 AM |             | 0.9617 V/m           | 0.9065 V/m           | 0.8350 V/m           |
| 313          | 23.07.2018 11:21:14 AM |             | 0.9280 V/m           | 0.8674 V/m           | 0.8207 V/m           |
| 314          | 23.07.2018 11:21:24 AM |             | 0.9548 V/m           | 0.8878 V/m           | 0.8317 V/m           |
| 315          | 23.07.2018 11:21:34 AM |             | 0.9591 V/m           | 0.8996 V/m           | 0.8605 V/m           |
| 316          | 23.07.2018 11:21:44 AM |             | 0.9588 V/m           | 0.8860 V/m           | 0.7980 V/m           |
| 317          | 23.07.2018 11:21:54 AM |             | 0.9568 V/m           | 0.8950 V/m           | 0.8326 V/m           |
| 318          | 23.07.2018 11:22:04 AM |             | 0.9336 V/m           | 0.8798 V/m           | 0.8014 V/m           |
| 319          | 23.07.2018 11:22:14 AM |             | 0.9368 V/m           | 0.8892 V/m           | 0.8373 V/m           |
| 320          | 23.07.2018 11:22:24 AM |             | 0.9351 V/m           | 0.8840 V/m           | 0.8372 V/m           |
| 321          | 23.07.2018 11:22:34 AM |             | 0.9748 V/m           | 0.8914 V/m           | 0.8251 V/m           |
| 322          | 23.07.2018 11:22:44 AM |             | 1.015 V/m            | 0.9232 V/m           | 0.8506 V/m           |
| 323          | 23.07.2018 11:22:54 AM |             | 0.9981 V/m           | 0.9166 V/m           | 0.8340 V/m           |
| 324          | 23.07.2018 11:23:04 AM |             | 0.9804 V/m           | 0.9019 V/m           | 0.8240 V/m           |
| 325          | 23.07.2018 11:23:14 AM |             | 0.9557 V/m           | 0.8836 V/m           | 0.7970 V/m           |
| 326          | 23.07.2018 11:23:24 AM |             | 0.9406 V/m           | 0.8764 V/m           | 0.8079 V/m           |
| 327          | 23.07.2018 11:23:34 AM |             | 0.9256 V/m           | 0.8606 V/m           | 0.7880 V/m           |
| 328          | 23.07.2018 11:23:44 AM |             | 0.8897 V/m           | 0.8337 V/m           | 0.7768 V/m           |
| 329          | 23.07.2018 11:23:54 AM |             | 0.8906 V/m           | 0.8327 V/m           | 0.7564 V/m           |
| 330          | 23.07.2018 11:24:04 AM |             | 0.8934 V/m           | 0.8366 V/m           | 0.7607 V/m           |
| 331          | 23.07.2018 11:24:14 AM |             | 0.8995 V/m           | 0.8447 V/m           | 0.7768 V/m           |
| 332          | 23.07.2018 11:24:24 AM |             | 1.000 V/m            | 0.8740 V/m           | 0.7894 V/m           |
| 333          | 23.07.2018 11:24:34 AM |             | 0.9597 V/m           | 0.9060 V/m           | 0.8624 V/m           |
| 334          | 23.07.2018 11:24:44 AM |             | 0.9534 V/m           | 0.8875 V/m           | 0.8493 V/m           |
| 335          | 23.07.2018 11:24:54 AM |             | 0.9230 V/m           | 0.8758 V/m           | 0.8303 V/m           |
| 336          | 23.07.2018 11:25:04 AM |             | 0.9182 V/m           | 0.8716 V/m           | 0.8277 V/m           |



| Index | Date/Time              | Zero | Max (E-Field) | Avg (E-Field) | Min (E-Field) |
|-------|------------------------|------|---------------|---------------|---------------|
| 337   | 23.07.2018 11:25:14 AM |      | 1.034 V/m     | 0.9498 V/m    | 0.8694 V/m    |
| 338   | 23.07.2018 11:25:24 AM |      | 0.9534 V/m    | 0.8914 V/m    | 0.8489 V/m    |
| 339   | 23.07.2018 11:25:34 AM |      | 0.9016 V/m    | 0.8472 V/m    | 0.8140 V/m    |
| 340   | 23.07.2018 11:25:44 AM |      | 0.9257 V/m    | 0.8938 V/m    | 0.8337 V/m    |
| 341   | 23.07.2018 11:25:54 AM |      | 0.9404 V/m    | 0.8681 V/m    | 0.8207 V/m    |
| 342   | 23.07.2018 11:26:04 AM |      | 0.9259 V/m    | 0.8637 V/m    | 0.7852 V/m    |
| 343   | 23.07.2018 11:26:14 AM |      | 0.9392 V/m    | 0.8782 V/m    | 0.8369 V/m    |
| 344   | 23.07.2018 11:26:24 AM |      | 0.9188 V/m    | 0.8670 V/m    | 0.8297 V/m    |
| 345   | 23.07.2018 11:26:34 AM |      | 0.9540 V/m    | 0.8832 V/m    | 0.8055 V/m    |
| 346   | 23.07.2018 11:26:44 AM |      | 0.9792 V/m    | 0.8982 V/m    | 0.8490 V/m    |
| 347   | 23.07.2018 11:26:54 AM |      | 0.9778 V/m    | 0.8792 V/m    | 0.8140 V/m    |
| 348   | 23.07.2018 11:27:04 AM |      | 0.9739 V/m    | 0.8668 V/m    | 0.7753 V/m    |
| 349   | 23.07.2018 11:27:14 AM |      | 0.8875 V/m    | 0.8277 V/m    | 0.7553 V/m    |
| 350   | 23.07.2018 11:27:24 AM |      | 0.9025 V/m    | 0.8071 V/m    | 0.7336 V/m    |
| 351   | 23.07.2018 11:27:34 AM |      | 0.9435 V/m    | 0.8405 V/m    | 0.7272 V/m    |
| 352   | 23.07.2018 11:27:44 AM |      | 0.9010 V/m    | 0.8122 V/m    | 0.7343 V/m    |
| 353   | 23.07.2018 11:27:54 AM |      | 0.9179 V/m    | 0.8479 V/m    | 0.7973 V/m    |
| 354   | 23.07.2018 11:28:04 AM |      | 0.9080 V/m    | 0.8424 V/m    | 0.7201 V/m    |
| 355   | 23.07.2018 11:28:14 AM |      | 0.9336 V/m    | 0.8588 V/m    | 0.7817 V/m    |
| 356   | 23.07.2018 11:28:24 AM |      | 1.022 V/m     | 0.9226 V/m    | 0.7873 V/m    |
| 357   | 23.07.2018 11:28:34 AM |      | 0.9898 V/m    | 0.9122 V/m    | 0.8117 V/m    |
| 358   | 23.07.2018 11:28:44 AM |      | 0.9540 V/m    | 0.8846 V/m    | 0.8418 V/m    |
| 359   | 23.07.2018 11:28:54 AM |      | 0.9700 V/m    | 0.8724 V/m    | 0.8297 V/m    |
| 360   | 23.07.2018 11:29:04 AM |      | 0.9531 V/m    | 0.8790 V/m    | 0.8447 V/m    |
| 361   | 23.07.2018 11:29:14 AM |      | 0.9134 V/m    | 0.8640 V/m    | 0.8395 V/m    |
| 362   | 23.07.2018 11:29:24 AM |      | 0.9453 V/m    | 0.8805 V/m    | 0.8422 V/m    |
| 363   | 23.07.2018 11:29:34 AM |      | 0.9511 V/m    | 0.8739 V/m    | 0.8271 V/m    |
| 364   | 23.07.2018 11:29:44 AM |      | 0.9730 V/m    | 0.8961 V/m    | 0.8454 V/m    |
| 365   | 23.07.2018 11:29:54 AM |      | 0.9348 V/m    | 0.8821 V/m    | 0.8130 V/m    |
| 366   | 23.07.2018 11:30:04 AM |      | 0.9238 V/m    | 0.8603 V/m    | 0.7952 V/m    |
| 367   | 23.07.2018 11:30:14 AM |      | 0.9597 V/m    | 0.8763 V/m    | 0.8405 V/m    |
| 368   | 23.07.2018 11:30:24 AM |      | 0.9485 V/m    | 0.8974 V/m    | 0.8486 V/m    |
| 369   | 23.07.2018 11:30:34 AM |      | 0.9336 V/m    | 0.8747 V/m    | 0.8441 V/m    |
| 370   | 23.07.2018 11:30:44 AM |      | 0.8921 V/m    | 0.8637 V/m    | 0.8293 V/m    |
| 371   | 23.07.2018 11:30:54 AM |      | 0.9182 V/m    | 0.8651 V/m    | 0.8326 V/m    |
| 372   | 23.07.2018 11:31:04 AM |      | 0.9634 V/m    | 0.8755 V/m    | 0.8353 V/m    |
| 373   | 23.07.2018 11:31:14 AM |      | 0.9131 V/m    | 0.8406 V/m    | 0.7517 V/m    |
| 374   | 23.07.2018 11:31:24 AM |      | 0.9628 V/m    | 0.8307 V/m    | 0.7151 V/m    |
| 375   | 23.07.2018 11:31:34 AM |      | 0.9119 V/m    | 0.8474 V/m    | 0.7491 V/m    |
| 376   | 23.07.2018 11:31:44 AM |      | 0.8989 V/m    | 0.8380 V/m    | 0.7328 V/m    |
| 377   | 23.07.2018 11:31:54 AM |      | 0.8989 V/m    | 0.8138 V/m    | 0.7395 V/m    |
| 378   | 23.07.2018 11:32:04 AM |      | 0.8894 V/m    | 0.8170 V/m    | 0.7109 V/m    |
| 379   | 23.07.2018 11:32:14 AM |      | 0.9262 V/m    | 0.8488 V/m    | 0.7708 V/m    |
| 380   | 23.07.2018 11:32:24 AM |      | 0.9609 V/m    | 0.8396 V/m    | 0.7491 V/m    |
| 381   | 23.07.2018 11:32:34 AM |      | 0.9585 V/m    | 0.8850 V/m    | 0.8059 V/m    |
| 382   | 23.07.2018 11:32:44 AM |      | 0.9418 V/m    | 0.8730 V/m    | 0.7997 V/m    |
| 383   | 23.07.2018 11:32:54 AM |      | 0.9787 V/m    | 0.8413 V/m    | 0.7339 V/m    |
| 384   | 23.07.2018 11:33:04 AM |      | 0.9265 V/m    | 0.8656 V/m    | 0.7977 V/m    |
| 385   | 23.07.2018 11:33:14 AM |      | 0.9330 V/m    | 0.8605 V/m    | 0.8237 V/m    |
| 386   | 23.07.2018 11:33:24 AM |      | 0.9315 V/m    | 0.8721 V/m    | 0.7792 V/m    |
| 387   | 23.07.2018 11:33:34 AM |      | 0.9053 V/m    | 0.8555 V/m    | 0.8120 V/m    |
| 388   | 23.07.2018 11:33:44 AM |      | 0.9368 V/m    | 0.8705 V/m    | 0.8031 V/m    |
| 389   | 23.07.2018 11:33:54 AM |      | 0.8989 V/m    | 0.8641 V/m    | 0.8280 V/m    |
| 390   | 23.07.2018 11:34:04 AM |      | 0.8918 V/m    | 0.8584 V/m    | 0.8197 V/m    |
| 391   | 23.07.2018 11:34:14 AM |      | 0.9086 V/m    | 0.8462 V/m    | 0.7831 V/m    |
| 392   | 23.07.2018 11:34:24 AM |      | 0.9022 V/m    | 0.8609 V/m    | 0.8167 V/m    |
| 393   | 23.07.2018 11:34:34 AM |      | 0.9179 V/m    | 0.8749 V/m    | 0.8490 V/m    |

| <u>Index</u> | <u>Date/Time</u>       | <u>Zero</u> | <u>Max (E-Field)</u> | <u>Avg (E-Field)</u> | <u>Min (E-Field)</u> |
|--------------|------------------------|-------------|----------------------|----------------------|----------------------|
| 394          | 23.07.2018 11:34:44 AM |             | 0.9943 V/m           | 0.9183 V/m           | 0.8500 V/m           |
| 395          | 23.07.2018 11:34:54 AM |             | 0.9959 V/m           | 0.9150 V/m           | 0.8564 V/m           |
| 396          | 23.07.2018 11:35:04 AM |             | 0.9896 V/m           | 0.8827 V/m           | 0.7848 V/m           |
| 397          | 23.07.2018 11:35:14 AM |             | 0.9742 V/m           | 0.8875 V/m           | 0.7870 V/m           |
| 398          | 23.07.2018 11:35:24 AM |             | 0.9493 V/m           | 0.8764 V/m           | 0.7740 V/m           |
| 399          | 23.07.2018 11:35:34 AM |             | 0.9643 V/m           | 0.8846 V/m           | 0.8234 V/m           |
| 400          | 23.07.2018 11:35:44 AM |             | 0.9427 V/m           | 0.8841 V/m           | 0.7828 V/m           |
| 401          | 23.07.2018 11:35:54 AM |             | 0.9528 V/m           | 0.8935 V/m           | 0.8330 V/m           |
| 402          | 23.07.2018 11:36:04 AM |             | 0.9620 V/m           | 0.9326 V/m           | 0.8697 V/m           |
| 403          | 23.07.2018 11:36:14 AM |             | 0.9860 V/m           | 0.9250 V/m           | 0.8650 V/m           |
| 404          | 23.07.2018 11:36:24 AM |             | 0.9588 V/m           | 0.8938 V/m           | 0.8441 V/m           |
| 405          | 23.07.2018 11:36:34 AM |             | 0.9674 V/m           | 0.9021 V/m           | 0.8451 V/m           |
| 406          | 23.07.2018 11:36:44 AM |             | 0.9301 V/m           | 0.8941 V/m           | 0.8431 V/m           |
| 407          | 23.07.2018 11:36:54 AM |             | 0.9711 V/m           | 0.9238 V/m           | 0.8807 V/m           |
| 408          | 23.07.2018 11:37:04 AM |             | 0.9728 V/m           | 0.9075 V/m           | 0.8224 V/m           |
| 409          | 23.07.2018 11:37:14 AM |             | 0.9876 V/m           | 0.9319 V/m           | 0.8493 V/m           |
| 410          | 23.07.2018 11:37:24 AM |             | 1.005 V/m            | 0.9066 V/m           | 0.8117 V/m           |
| 411          | 23.07.2018 11:37:34 AM |             | 0.9990 V/m           | 0.8753 V/m           | 0.8032 V/m           |
| 412          | 23.07.2018 11:37:44 AM |             | 0.9796 V/m           | 0.8993 V/m           | 0.8251 V/m           |
| 413          | 23.07.2018 11:37:54 AM |             | 0.9935 V/m           | 0.9276 V/m           | 0.8160 V/m           |
| 414          | 23.07.2018 11:38:04 AM |             | 0.9854 V/m           | 0.8534 V/m           | 0.7768 V/m           |
| 415          | 23.07.2018 11:38:14 AM |             | 0.9761 V/m           | 0.9208 V/m           | 0.8157 V/m           |
| 416          | 23.07.2018 11:38:24 AM |             | 1.010 V/m            | 0.8711 V/m           | 0.8133 V/m           |
| 417          | 23.07.2018 11:38:34 AM |             | 0.9912 V/m           | 0.9220 V/m           | 0.8634 V/m           |
| 418          | 23.07.2018 11:38:44 AM |             | 0.9674 V/m           | 0.8871 V/m           | 0.8001 V/m           |
| 419          | 23.07.2018 11:38:54 AM |             | 0.8979 V/m           | 0.8431 V/m           | 0.7757 V/m           |
| 420          | 23.07.2018 11:39:04 AM |             | 0.9128 V/m           | 0.8609 V/m           | 0.8234 V/m           |
| 421          | 23.07.2018 11:39:14 AM |             | 0.9283 V/m           | 0.8645 V/m           | 0.8317 V/m           |
| 422          | 23.07.2018 11:39:24 AM |             | 0.8838 V/m           | 0.8421 V/m           | 0.8234 V/m           |
| 423          | 23.07.2018 11:39:34 AM |             | 0.8672 V/m           | 0.8378 V/m           | 0.7863 V/m           |
| 424          | 23.07.2018 11:39:44 AM |             | 0.8710 V/m           | 0.8395 V/m           | 0.8021 V/m           |
| 425          | 23.07.2018 11:39:54 AM |             | 0.9374 V/m           | 0.8777 V/m           | 0.8320 V/m           |
| 426          | 23.07.2018 11:40:04 AM |             | 0.9197 V/m           | 0.8599 V/m           | 0.8069 V/m           |
| 427          | 23.07.2018 11:40:14 AM |             | 0.8832 V/m           | 0.8407 V/m           | 0.7984 V/m           |
| 428          | 23.07.2018 11:40:24 AM |             | 0.9164 V/m           | 0.8795 V/m           | 0.8271 V/m           |
| 429          | 23.07.2018 11:40:34 AM |             | 0.9327 V/m           | 0.8911 V/m           | 0.8589 V/m           |
| 430          | 23.07.2018 11:40:44 AM |             | 0.9502 V/m           | 0.8816 V/m           | 0.8356 V/m           |
| 431          | 23.07.2018 11:40:54 AM |             | 0.9365 V/m           | 0.8952 V/m           | 0.8251 V/m           |
| 432          | 23.07.2018 11:41:04 AM |             | 0.9250 V/m           | 0.8856 V/m           | 0.8267 V/m           |
| 433          | 23.07.2018 11:41:14 AM |             | 0.9188 V/m           | 0.8604 V/m           | 0.8004 V/m           |
| 434          | 23.07.2018 11:41:24 AM |             | 0.9403 V/m           | 0.8781 V/m           | 0.8137 V/m           |
| 435          | 23.07.2018 11:41:34 AM |             | 0.9209 V/m           | 0.8795 V/m           | 0.8444 V/m           |
| 436          | 23.07.2018 11:41:44 AM |             | 0.9626 V/m           | 0.8619 V/m           | 0.8224 V/m           |
| 437          | 23.07.2018 11:41:54 AM |             | 0.9438 V/m           | 0.8882 V/m           | 0.8320 V/m           |
| 438          | 23.07.2018 11:42:04 AM |             | 0.9412 V/m           | 0.8682 V/m           | 0.8254 V/m           |
| 439          | 23.07.2018 11:42:14 AM |             | 0.9182 V/m           | 0.8777 V/m           | 0.8461 V/m           |
| 440          | 23.07.2018 11:42:24 AM |             | 0.8697 V/m           | 0.8451 V/m           | 0.8167 V/m           |
| 441          | 23.07.2018 11:42:34 AM |             | 0.9309 V/m           | 0.8582 V/m           | 0.8271 V/m           |
| 442          | 23.07.2018 11:42:44 AM |             | 0.8915 V/m           | 0.8551 V/m           | 0.8187 V/m           |
| 443          | 23.07.2018 11:42:54 AM |             | 0.8973 V/m           | 0.8618 V/m           | 0.8284 V/m           |
| 444          | 23.07.2018 11:43:04 AM |             | 0.9304 V/m           | 0.8493 V/m           | 0.7726 V/m           |
| 445          | 23.07.2018 11:43:14 AM |             | 0.9519 V/m           | 0.8675 V/m           | 0.8007 V/m           |
| 446          | 23.07.2018 11:43:24 AM |             | 0.8989 V/m           | 0.8317 V/m           | 0.7782 V/m           |
| 447          | 23.07.2018 11:43:34 AM |             | 0.9227 V/m           | 0.8619 V/m           | 0.8336 V/m           |
| 448          | 23.07.2018 11:43:44 AM |             | 0.9313 V/m           | 0.8769 V/m           | 0.8444 V/m           |
| 449          | 23.07.2018 11:43:54 AM |             | 0.9313 V/m           | 0.8721 V/m           | 0.8457 V/m           |
| 450          | 23.07.2018 11:44:04 AM |             | 0.8779 V/m           | 0.8526 V/m           | 0.8310 V/m           |

| <u>Index</u> | <u>Date/Time</u>       | <u>Zero</u> | <u>Max (E-Field)</u> | <u>Avg (E-Field)</u> | <u>Min (E-Field)</u> |
|--------------|------------------------|-------------|----------------------|----------------------|----------------------|
| 451          | 23.07.2018 11:44:14 AM |             | 0.9316 V/m           | 0.8265 V/m           | 0.7789 V/m           |
| 452          | 23.07.2018 11:44:24 AM |             | 0.9450 V/m           | 0.8636 V/m           | 0.7980 V/m           |
| 453          | 23.07.2018 11:44:34 AM |             | 0.9339 V/m           | 0.8699 V/m           | 0.8327 V/m           |
| 454          | 23.07.2018 11:44:44 AM |             | 0.9221 V/m           | 0.8548 V/m           | 0.8241 V/m           |
| 455          | 23.07.2018 11:44:54 AM |             | 0.9493 V/m           | 0.8923 V/m           | 0.8197 V/m           |
| 456          | 23.07.2018 11:45:04 AM |             | 0.9450 V/m           | 0.9044 V/m           | 0.8503 V/m           |
| 457          | 23.07.2018 11:45:14 AM |             | 0.9468 V/m           | 0.8596 V/m           | 0.7561 V/m           |
| 458          | 23.07.2018 11:45:24 AM |             | 0.9637 V/m           | 0.8856 V/m           | 0.8438 V/m           |
| 459          | 23.07.2018 11:45:34 AM |             | 0.9462 V/m           | 0.8821 V/m           | 0.8382 V/m           |
| 460          | 23.07.2018 11:45:44 AM |             | 1.010 V/m            | 0.8814 V/m           | 0.8247 V/m           |
| 461          | 23.07.2018 11:45:54 AM |             | 0.9360 V/m           | 0.8596 V/m           | 0.7754 V/m           |
| 462          | 23.07.2018 11:46:04 AM |             | 0.9298 V/m           | 0.8605 V/m           | 0.7942 V/m           |
| 463          | 23.07.2018 11:46:14 AM |             | 0.9268 V/m           | 0.8792 V/m           | 0.8123 V/m           |
| 464          | 23.07.2018 11:46:24 AM |             | 0.9890 V/m           | 0.8989 V/m           | 0.8386 V/m           |
| 465          | 23.07.2018 11:46:34 AM |             | 0.9176 V/m           | 0.8617 V/m           | 0.8323 V/m           |
| 466          | 23.07.2018 11:46:44 AM |             | 0.9194 V/m           | 0.8863 V/m           | 0.8353 V/m           |
| 467          | 23.07.2018 11:46:54 AM |             | 0.9392 V/m           | 0.8791 V/m           | 0.8350 V/m           |
| 468          | 23.07.2018 11:47:04 AM |             | 0.8983 V/m           | 0.8557 V/m           | 0.8164 V/m           |
| 469          | 23.07.2018 11:47:14 AM |             | 0.9268 V/m           | 0.8699 V/m           | 0.8251 V/m           |
| 470          | 23.07.2018 11:47:24 AM |             | 0.9330 V/m           | 0.8798 V/m           | 0.8402 V/m           |
| 471          | 23.07.2018 11:47:34 AM |             | 0.9620 V/m           | 0.8636 V/m           | 0.8314 V/m           |
| 472          | 23.07.2018 11:47:44 AM |             | 0.9065 V/m           | 0.8454 V/m           | 0.7619 V/m           |
| 473          | 23.07.2018 11:47:54 AM |             | 0.9161 V/m           | 0.8768 V/m           | 0.8422 V/m           |
| 474          | 23.07.2018 11:48:04 AM |             | 0.8866 V/m           | 0.8502 V/m           | 0.8300 V/m           |
| 475          | 23.07.2018 11:48:14 AM |             | 0.9927 V/m           | 0.8970 V/m           | 0.8431 V/m           |
| 476          | 23.07.2018 11:48:24 AM |             | 0.9310 V/m           | 0.8530 V/m           | 0.7825 V/m           |
| 477          | 23.07.2018 11:48:34 AM |             | 0.9731 V/m           | 0.9049 V/m           | 0.8280 V/m           |
| 478          | 23.07.2018 11:48:44 AM |             | 0.9152 V/m           | 0.8399 V/m           | 0.7712 V/m           |
| 479          | 23.07.2018 11:48:54 AM |             | 0.8725 V/m           | 0.8420 V/m           | 0.8076 V/m           |
| 480          | 23.07.2018 11:49:04 AM |             | 0.9176 V/m           | 0.8672 V/m           | 0.8323 V/m           |
| 481          | 23.07.2018 11:49:14 AM |             | 0.9386 V/m           | 0.8782 V/m           | 0.8204 V/m           |
| 482          | 23.07.2018 11:49:24 AM |             | 0.9554 V/m           | 0.8915 V/m           | 0.8264 V/m           |
| 483          | 23.07.2018 11:49:34 AM |             | 0.9560 V/m           | 0.8740 V/m           | 0.8194 V/m           |
| 484          | 23.07.2018 11:49:44 AM |             | 0.9342 V/m           | 0.8546 V/m           | 0.7911 V/m           |
| 485          | 23.07.2018 11:49:54 AM |             | 0.9401 V/m           | 0.8680 V/m           | 0.8297 V/m           |
| 486          | 23.07.2018 11:50:04 AM |             | 0.9476 V/m           | 0.8680 V/m           | 0.8281 V/m           |
| 487          | 23.07.2018 11:50:14 AM |             | 0.9427 V/m           | 0.8967 V/m           | 0.8551 V/m           |
| 488          | 23.07.2018 11:50:24 AM |             | 0.9778 V/m           | 0.9061 V/m           | 0.8451 V/m           |
| 489          | 23.07.2018 11:50:34 AM |             | 0.9548 V/m           | 0.8929 V/m           | 0.8083 V/m           |
| 490          | 23.07.2018 11:50:44 AM |             | 0.9140 V/m           | 0.8452 V/m           | 0.7604 V/m           |
| 491          | 23.07.2018 11:50:54 AM |             | 0.9253 V/m           | 0.8628 V/m           | 0.7974 V/m           |
| 492          | 23.07.2018 11:51:04 AM |             | 0.9363 V/m           | 0.8674 V/m           | 0.8127 V/m           |
| 493          | 23.07.2018 11:51:14 AM |             | 0.9392 V/m           | 0.8758 V/m           | 0.8011 V/m           |
| 494          | 23.07.2018 11:51:24 AM |             | 0.9617 V/m           | 0.8715 V/m           | 0.8217 V/m           |
| 495          | 23.07.2018 11:51:34 AM |             | 0.9435 V/m           | 0.8407 V/m           | 0.7553 V/m           |
| 496          | 23.07.2018 11:51:44 AM |             | 0.8770 V/m           | 0.8393 V/m           | 0.7921 V/m           |
| 497          | 23.07.2018 11:51:54 AM |             | 0.9685 V/m           | 0.9094 V/m           | 0.7946 V/m           |
| 498          | 23.07.2018 11:52:04 AM |             | 0.9013 V/m           | 0.8381 V/m           | 0.7578 V/m           |
| 499          | 23.07.2018 11:52:14 AM |             | 0.9286 V/m           | 0.8341 V/m           | 0.7437 V/m           |
| 500          | 23.07.2018 11:52:24 AM |             | 0.8927 V/m           | 0.8221 V/m           | 0.7743 V/m           |
| 501          | 23.07.2018 11:52:34 AM |             | 0.9623 V/m           | 0.9041 V/m           | 0.8247 V/m           |
| 502          | 23.07.2018 11:52:44 AM |             | 0.9295 V/m           | 0.8824 V/m           | 0.8089 V/m           |
| 503          | 23.07.2018 11:52:54 AM |             | 0.8841 V/m           | 0.8414 V/m           | 0.7607 V/m           |
| 504          | 23.07.2018 11:53:04 AM |             | 0.9095 V/m           | 0.8370 V/m           | 0.7554 V/m           |
| 505          | 23.07.2018 11:53:14 AM |             | 0.9485 V/m           | 0.8848 V/m           | 0.8177 V/m           |
| 506          | 23.07.2018 11:53:24 AM |             | 0.9224 V/m           | 0.8465 V/m           | 0.7866 V/m           |
| 507          | 23.07.2018 11:53:34 AM |             | 0.9254 V/m           | 0.8660 V/m           | 0.8106 V/m           |

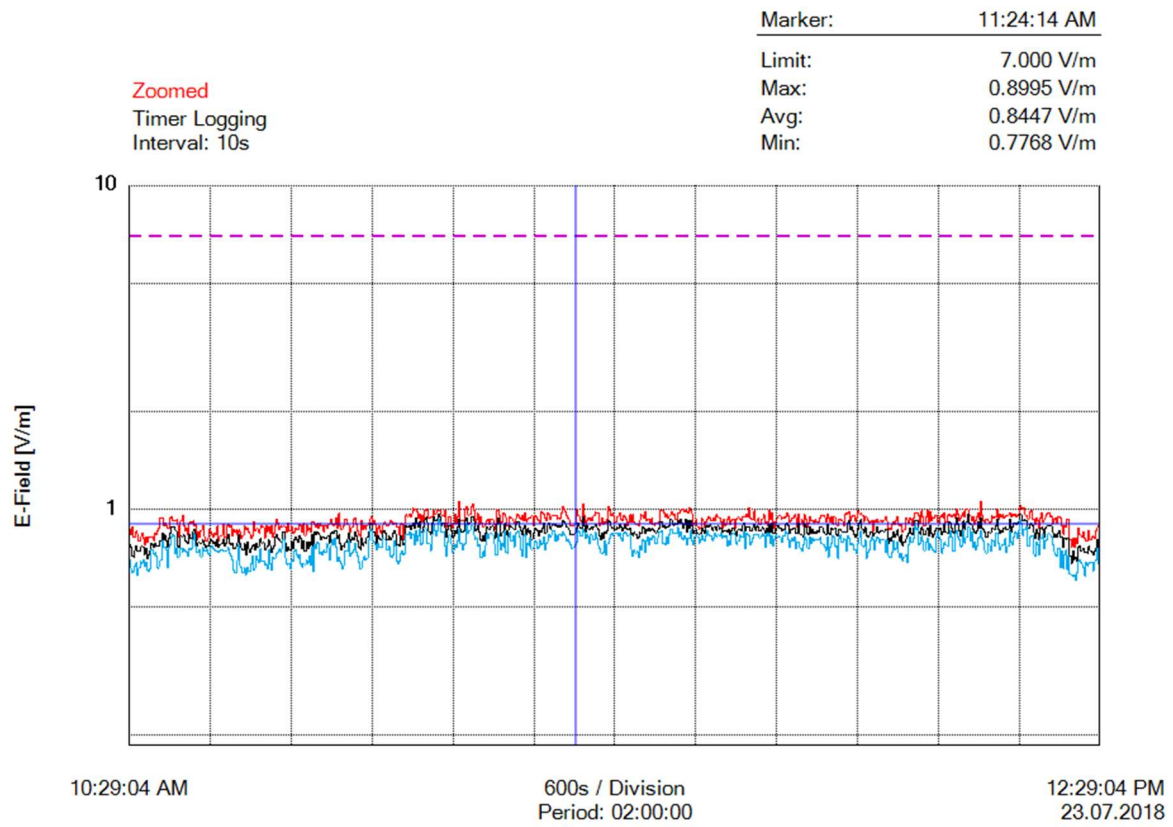
| Index | Date/Time              | Zero | Max (E-Field) | Avg (E-Field) | Min (E-Field) |
|-------|------------------------|------|---------------|---------------|---------------|
| 508   | 23.07.2018 11:53:44 AM |      | 0.9095 V/m    | 0.8438 V/m    | 0.7950 V/m    |
| 509   | 23.07.2018 11:53:54 AM |      | 0.9283 V/m    | 0.8519 V/m    | 0.8042 V/m    |
| 510   | 23.07.2018 11:54:04 AM |      | 0.9104 V/m    | 0.8443 V/m    | 0.8072 V/m    |
| 511   | 23.07.2018 11:54:14 AM |      | 0.9083 V/m    | 0.8587 V/m    | 0.8038 V/m    |
| 512   | 23.07.2018 11:54:24 AM |      | 0.9182 V/m    | 0.8505 V/m    | 0.8093 V/m    |
| 513   | 23.07.2018 11:54:34 AM |      | 0.9398 V/m    | 0.8847 V/m    | 0.8170 V/m    |
| 514   | 23.07.2018 11:54:44 AM |      | 0.9568 V/m    | 0.8790 V/m    | 0.7825 V/m    |
| 515   | 23.07.2018 11:54:54 AM |      | 0.9566 V/m    | 0.8502 V/m    | 0.7793 V/m    |
| 516   | 23.07.2018 11:55:04 AM |      | 0.9459 V/m    | 0.8400 V/m    | 0.7661 V/m    |
| 517   | 23.07.2018 11:55:14 AM |      | 0.9152 V/m    | 0.8350 V/m    | 0.7462 V/m    |
| 518   | 23.07.2018 11:55:24 AM |      | 0.9637 V/m    | 0.9009 V/m    | 0.8187 V/m    |
| 519   | 23.07.2018 11:55:34 AM |      | 0.9433 V/m    | 0.8443 V/m    | 0.7131 V/m    |
| 520   | 23.07.2018 11:55:44 AM |      | 0.9131 V/m    | 0.8348 V/m    | 0.7639 V/m    |
| 521   | 23.07.2018 11:55:54 AM |      | 0.9438 V/m    | 0.8755 V/m    | 0.7873 V/m    |
| 522   | 23.07.2018 11:56:04 AM |      | 0.9019 V/m    | 0.8661 V/m    | 0.8280 V/m    |
| 523   | 23.07.2018 11:56:14 AM |      | 0.9470 V/m    | 0.8715 V/m    | 0.8184 V/m    |
| 524   | 23.07.2018 11:56:24 AM |      | 0.9424 V/m    | 0.8764 V/m    | 0.7658 V/m    |
| 525   | 23.07.2018 11:56:34 AM |      | 0.8924 V/m    | 0.8320 V/m    | 0.7711 V/m    |
| 526   | 23.07.2018 11:56:44 AM |      | 0.8918 V/m    | 0.8275 V/m    | 0.7066 V/m    |
| 527   | 23.07.2018 11:56:54 AM |      | 0.9321 V/m    | 0.8667 V/m    | 0.8143 V/m    |
| 528   | 23.07.2018 11:57:04 AM |      | 0.9345 V/m    | 0.8630 V/m    | 0.8327 V/m    |
| 529   | 23.07.2018 11:57:14 AM |      | 0.9185 V/m    | 0.8525 V/m    | 0.7908 V/m    |
| 530   | 23.07.2018 11:57:24 AM |      | 0.8887 V/m    | 0.8526 V/m    | 0.8113 V/m    |
| 531   | 23.07.2018 11:57:34 AM |      | 0.9657 V/m    | 0.8515 V/m    | 0.8052 V/m    |
| 532   | 23.07.2018 11:57:44 AM |      | 0.9776 V/m    | 0.8515 V/m    | 0.7443 V/m    |
| 533   | 23.07.2018 11:57:54 AM |      | 0.9694 V/m    | 0.9064 V/m    | 0.8313 V/m    |
| 534   | 23.07.2018 11:58:04 AM |      | 0.9854 V/m    | 0.9218 V/m    | 0.8167 V/m    |
| 535   | 23.07.2018 11:58:14 AM |      | 0.9262 V/m    | 0.8626 V/m    | 0.7775 V/m    |
| 536   | 23.07.2018 11:58:24 AM |      | 0.9482 V/m    | 0.8783 V/m    | 0.7862 V/m    |
| 537   | 23.07.2018 11:58:34 AM |      | 0.9563 V/m    | 0.8616 V/m    | 0.7796 V/m    |
| 538   | 23.07.2018 11:58:44 AM |      | 0.9563 V/m    | 0.8317 V/m    | 0.7513 V/m    |
| 539   | 23.07.2018 11:58:54 AM |      | 0.9182 V/m    | 0.8224 V/m    | 0.7524 V/m    |
| 540   | 23.07.2018 11:59:04 AM |      | 0.9383 V/m    | 0.8349 V/m    | 0.7309 V/m    |
| 541   | 23.07.2018 11:59:14 AM |      | 0.9873 V/m    | 0.8650 V/m    | 0.7845 V/m    |
| 542   | 23.07.2018 11:59:24 AM |      | 0.9688 V/m    | 0.9068 V/m    | 0.8184 V/m    |
| 543   | 23.07.2018 11:59:34 AM |      | 0.9711 V/m    | 0.9269 V/m    | 0.8583 V/m    |
| 544   | 23.07.2018 11:59:44 AM |      | 0.9597 V/m    | 0.8676 V/m    | 0.7721 V/m    |
| 545   | 23.07.2018 11:59:54 AM |      | 0.9158 V/m    | 0.8453 V/m    | 0.7643 V/m    |
| 546   | 23.07.2018 12:00:04 PM |      | 0.9476 V/m    | 0.8790 V/m    | 0.8045 V/m    |
| 547   | 23.07.2018 12:00:14 PM |      | 0.9461 V/m    | 0.8270 V/m    | 0.7058 V/m    |
| 548   | 23.07.2018 12:00:24 PM |      | 0.9232 V/m    | 0.8226 V/m    | 0.7366 V/m    |
| 549   | 23.07.2018 12:00:34 PM |      | 0.9047 V/m    | 0.8312 V/m    | 0.7521 V/m    |
| 550   | 23.07.2018 12:00:44 PM |      | 0.9167 V/m    | 0.8541 V/m    | 0.7966 V/m    |
| 551   | 23.07.2018 12:00:54 PM |      | 0.9265 V/m    | 0.8532 V/m    | 0.8220 V/m    |
| 552   | 23.07.2018 12:01:04 PM |      | 0.8589 V/m    | 0.8287 V/m    | 0.8052 V/m    |
| 553   | 23.07.2018 12:01:14 PM |      | 0.9233 V/m    | 0.8410 V/m    | 0.7491 V/m    |
| 554   | 23.07.2018 12:01:24 PM |      | 0.9158 V/m    | 0.8468 V/m    | 0.7987 V/m    |
| 555   | 23.07.2018 12:01:34 PM |      | 0.9289 V/m    | 0.8818 V/m    | 0.8204 V/m    |
| 556   | 23.07.2018 12:01:44 PM |      | 0.9128 V/m    | 0.8452 V/m    | 0.8103 V/m    |
| 557   | 23.07.2018 12:01:54 PM |      | 0.9212 V/m    | 0.8528 V/m    | 0.7873 V/m    |
| 558   | 23.07.2018 12:02:04 PM |      | 0.9229 V/m    | 0.8601 V/m    | 0.8076 V/m    |
| 559   | 23.07.2018 12:02:14 PM |      | 0.9128 V/m    | 0.8555 V/m    | 0.8055 V/m    |
| 560   | 23.07.2018 12:02:24 PM |      | 0.9244 V/m    | 0.8537 V/m    | 0.8031 V/m    |
| 561   | 23.07.2018 12:02:34 PM |      | 0.9488 V/m    | 0.8689 V/m    | 0.7354 V/m    |
| 562   | 23.07.2018 12:02:44 PM |      | 0.9191 V/m    | 0.8688 V/m    | 0.8025 V/m    |
| 563   | 23.07.2018 12:02:54 PM |      | 0.8665 V/m    | 0.7831 V/m    | 0.7204 V/m    |
| 564   | 23.07.2018 12:03:04 PM |      | 0.8772 V/m    | 0.8144 V/m    | 0.7108 V/m    |

| <u>Index</u> | <u>Date/Time</u>       | <u>Zero</u> | <u>Max (E-Field)</u> | <u>Avg (E-Field)</u> | <u>Min (E-Field)</u> |
|--------------|------------------------|-------------|----------------------|----------------------|----------------------|
| 565          | 23.07.2018 12:03:14 PM |             | 0.8684 V/m           | 0.7974 V/m           | 0.7123 V/m           |
| 566          | 23.07.2018 12:03:24 PM |             | 0.8970 V/m           | 0.8198 V/m           | 0.7347 V/m           |
| 567          | 23.07.2018 12:03:34 PM |             | 0.9167 V/m           | 0.8506 V/m           | 0.7970 V/m           |
| 568          | 23.07.2018 12:03:44 PM |             | 0.8949 V/m           | 0.8214 V/m           | 0.7476 V/m           |
| 569          | 23.07.2018 12:03:54 PM |             | 0.9215 V/m           | 0.8376 V/m           | 0.7553 V/m           |
| 570          | 23.07.2018 12:04:04 PM |             | 0.9502 V/m           | 0.8626 V/m           | 0.7918 V/m           |
| 571          | 23.07.2018 12:04:14 PM |             | 0.8946 V/m           | 0.8223 V/m           | 0.7317 V/m           |
| 572          | 23.07.2018 12:04:24 PM |             | 0.8903 V/m           | 0.7928 V/m           | 0.7093 V/m           |
| 573          | 23.07.2018 12:04:34 PM |             | 0.8976 V/m           | 0.8332 V/m           | 0.7306 V/m           |
| 574          | 23.07.2018 12:04:44 PM |             | 0.8480 V/m           | 0.7724 V/m           | 0.6920 V/m           |
| 575          | 23.07.2018 12:04:54 PM |             | 0.8624 V/m           | 0.7916 V/m           | 0.7112 V/m           |
| 576          | 23.07.2018 12:05:04 PM |             | 0.9389 V/m           | 0.8071 V/m           | 0.7257 V/m           |
| 577          | 23.07.2018 12:05:14 PM |             | 0.9283 V/m           | 0.8290 V/m           | 0.6845 V/m           |
| 578          | 23.07.2018 12:05:24 PM |             | 0.9028 V/m           | 0.8403 V/m           | 0.7789 V/m           |
| 579          | 23.07.2018 12:05:34 PM |             | 0.9432 V/m           | 0.8721 V/m           | 0.8227 V/m           |
| 580          | 23.07.2018 12:05:44 PM |             | 0.9321 V/m           | 0.8453 V/m           | 0.7925 V/m           |
| 581          | 23.07.2018 12:05:54 PM |             | 0.8927 V/m           | 0.8335 V/m           | 0.7887 V/m           |
| 582          | 23.07.2018 12:06:04 PM |             | 0.9418 V/m           | 0.8737 V/m           | 0.8110 V/m           |
| 583          | 23.07.2018 12:06:14 PM |             | 0.9708 V/m           | 0.9239 V/m           | 0.8860 V/m           |
| 584          | 23.07.2018 12:06:24 PM |             | 0.9736 V/m           | 0.9215 V/m           | 0.8656 V/m           |
| 585          | 23.07.2018 12:06:34 PM |             | 0.9764 V/m           | 0.9185 V/m           | 0.8732 V/m           |
| 586          | 23.07.2018 12:06:44 PM |             | 0.9542 V/m           | 0.8481 V/m           | 0.7792 V/m           |
| 587          | 23.07.2018 12:06:54 PM |             | 0.9059 V/m           | 0.8374 V/m           | 0.7834 V/m           |
| 588          | 23.07.2018 12:07:04 PM |             | 0.9873 V/m           | 0.8798 V/m           | 0.8260 V/m           |
| 589          | 23.07.2018 12:07:14 PM |             | 0.9459 V/m           | 0.8633 V/m           | 0.7956 V/m           |
| 590          | 23.07.2018 12:07:24 PM |             | 0.8888 V/m           | 0.8343 V/m           | 0.7462 V/m           |
| 591          | 23.07.2018 12:07:34 PM |             | 0.9459 V/m           | 0.8607 V/m           | 0.7890 V/m           |
| 592          | 23.07.2018 12:07:44 PM |             | 0.9921 V/m           | 0.8753 V/m           | 0.8126 V/m           |
| 593          | 23.07.2018 12:07:54 PM |             | 0.9095 V/m           | 0.8268 V/m           | 0.7506 V/m           |
| 594          | 23.07.2018 12:08:04 PM |             | 0.9865 V/m           | 0.8897 V/m           | 0.7817 V/m           |
| 595          | 23.07.2018 12:08:14 PM |             | 0.9203 V/m           | 0.8440 V/m           | 0.7622 V/m           |
| 596          | 23.07.2018 12:08:24 PM |             | 0.9444 V/m           | 0.8179 V/m           | 0.7491 V/m           |
| 597          | 23.07.2018 12:08:34 PM |             | 0.9412 V/m           | 0.8377 V/m           | 0.7425 V/m           |
| 598          | 23.07.2018 12:08:44 PM |             | 0.9545 V/m           | 0.8570 V/m           | 0.7392 V/m           |
| 599          | 23.07.2018 12:08:54 PM |             | 0.9525 V/m           | 0.8754 V/m           | 0.8241 V/m           |
| 600          | 23.07.2018 12:09:04 PM |             | 0.9164 V/m           | 0.8755 V/m           | 0.8503 V/m           |
| 601          | 23.07.2018 12:09:14 PM |             | 0.9044 V/m           | 0.8657 V/m           | 0.8190 V/m           |
| 602          | 23.07.2018 12:09:24 PM |             | 0.9502 V/m           | 0.8769 V/m           | 0.8052 V/m           |
| 603          | 23.07.2018 12:09:34 PM |             | 0.9612 V/m           | 0.8332 V/m           | 0.7317 V/m           |
| 604          | 23.07.2018 12:09:44 PM |             | 0.9415 V/m           | 0.8505 V/m           | 0.7571 V/m           |
| 605          | 23.07.2018 12:09:54 PM |             | 0.9756 V/m           | 0.9026 V/m           | 0.7887 V/m           |
| 606          | 23.07.2018 12:10:04 PM |             | 0.9134 V/m           | 0.8494 V/m           | 0.7765 V/m           |
| 607          | 23.07.2018 12:10:14 PM |             | 0.9554 V/m           | 0.8399 V/m           | 0.7686 V/m           |
| 608          | 23.07.2018 12:10:24 PM |             | 0.9691 V/m           | 0.9139 V/m           | 0.8204 V/m           |
| 609          | 23.07.2018 12:10:34 PM |             | 0.9583 V/m           | 0.9051 V/m           | 0.8589 V/m           |
| 610          | 23.07.2018 12:10:44 PM |             | 0.9453 V/m           | 0.8760 V/m           | 0.8200 V/m           |
| 611          | 23.07.2018 12:10:54 PM |             | 0.9600 V/m           | 0.8489 V/m           | 0.7406 V/m           |
| 612          | 23.07.2018 12:11:04 PM |             | 0.9614 V/m           | 0.8452 V/m           | 0.7443 V/m           |
| 613          | 23.07.2018 12:11:14 PM |             | 0.9436 V/m           | 0.8991 V/m           | 0.8447 V/m           |
| 614          | 23.07.2018 12:11:24 PM |             | 1.004 V/m            | 0.9384 V/m           | 0.8615 V/m           |
| 615          | 23.07.2018 12:11:34 PM |             | 0.9646 V/m           | 0.8984 V/m           | 0.8197 V/m           |
| 616          | 23.07.2018 12:11:44 PM |             | 0.9224 V/m           | 0.8568 V/m           | 0.8031 V/m           |
| 617          | 23.07.2018 12:11:54 PM |             | 0.9406 V/m           | 0.8294 V/m           | 0.7654 V/m           |
| 618          | 23.07.2018 12:12:04 PM |             | 0.9568 V/m           | 0.8591 V/m           | 0.7732 V/m           |
| 619          | 23.07.2018 12:12:14 PM |             | 0.9818 V/m           | 0.9185 V/m           | 0.8587 V/m           |
| 620          | 23.07.2018 12:12:24 PM |             | 0.9467 V/m           | 0.8689 V/m           | 0.7877 V/m           |
| 621          | 23.07.2018 12:12:34 PM |             | 1.004 V/m            | 0.9129 V/m           | 0.8197 V/m           |

| <u>Index</u> | <u>Date/Time</u>       | <u>Zero</u> | <u>Max (E-Field)</u> | <u>Avg (E-Field)</u> | <u>Min (E-Field)</u> |
|--------------|------------------------|-------------|----------------------|----------------------|----------------------|
| 622          | 23.07.2018 12:12:44 PM |             | 0.9970 V/m           | 0.9648 V/m           | 0.8785 V/m           |
| 623          | 23.07.2018 12:12:54 PM |             | 0.9614 V/m           | 0.9080 V/m           | 0.8788 V/m           |
| 624          | 23.07.2018 12:13:04 PM |             | 0.9546 V/m           | 0.8952 V/m           | 0.7974 V/m           |
| 625          | 23.07.2018 12:13:14 PM |             | 0.9215 V/m           | 0.8942 V/m           | 0.8506 V/m           |
| 626          | 23.07.2018 12:13:24 PM |             | 0.9496 V/m           | 0.8695 V/m           | 0.7625 V/m           |
| 627          | 23.07.2018 12:13:34 PM |             | 0.8992 V/m           | 0.8544 V/m           | 0.7922 V/m           |
| 628          | 23.07.2018 12:13:44 PM |             | 0.9238 V/m           | 0.8414 V/m           | 0.7491 V/m           |
| 629          | 23.07.2018 12:13:54 PM |             | 0.9467 V/m           | 0.8613 V/m           | 0.7686 V/m           |
| 630          | 23.07.2018 12:14:04 PM |             | 0.9722 V/m           | 0.9168 V/m           | 0.8147 V/m           |
| 631          | 23.07.2018 12:14:14 PM |             | 0.9277 V/m           | 0.8737 V/m           | 0.8237 V/m           |
| 632          | 23.07.2018 12:14:24 PM |             | 1.061 V/m            | 0.9408 V/m           | 0.8612 V/m           |
| 633          | 23.07.2018 12:14:34 PM |             | 0.9522 V/m           | 0.8712 V/m           | 0.8096 V/m           |
| 634          | 23.07.2018 12:14:44 PM |             | 0.9224 V/m           | 0.8624 V/m           | 0.7977 V/m           |
| 635          | 23.07.2018 12:14:54 PM |             | 0.9089 V/m           | 0.8472 V/m           | 0.7454 V/m           |
| 636          | 23.07.2018 12:15:04 PM |             | 0.9345 V/m           | 0.8189 V/m           | 0.7306 V/m           |
| 637          | 23.07.2018 12:15:14 PM |             | 0.9191 V/m           | 0.8488 V/m           | 0.7821 V/m           |
| 638          | 23.07.2018 12:15:24 PM |             | 0.9071 V/m           | 0.8488 V/m           | 0.7739 V/m           |
| 639          | 23.07.2018 12:15:34 PM |             | 0.9155 V/m           | 0.8457 V/m           | 0.7432 V/m           |
| 640          | 23.07.2018 12:15:44 PM |             | 0.9531 V/m           | 0.8727 V/m           | 0.8028 V/m           |
| 641          | 23.07.2018 12:15:54 PM |             | 0.9357 V/m           | 0.8708 V/m           | 0.7977 V/m           |
| 642          | 23.07.2018 12:16:04 PM |             | 0.9491 V/m           | 0.8649 V/m           | 0.7729 V/m           |
| 643          | 23.07.2018 12:16:14 PM |             | 0.9482 V/m           | 0.8883 V/m           | 0.8431 V/m           |
| 644          | 23.07.2018 12:16:24 PM |             | 1.000 V/m            | 0.9281 V/m           | 0.8408 V/m           |
| 645          | 23.07.2018 12:16:34 PM |             | 0.9345 V/m           | 0.8666 V/m           | 0.7852 V/m           |
| 646          | 23.07.2018 12:16:44 PM |             | 0.9651 V/m           | 0.8393 V/m           | 0.7487 V/m           |
| 647          | 23.07.2018 12:16:54 PM |             | 0.9476 V/m           | 0.8596 V/m           | 0.7672 V/m           |
| 648          | 23.07.2018 12:17:04 PM |             | 0.9634 V/m           | 0.8513 V/m           | 0.7803 V/m           |
| 649          | 23.07.2018 12:17:14 PM |             | 0.9357 V/m           | 0.8766 V/m           | 0.7789 V/m           |
| 650          | 23.07.2018 12:17:24 PM |             | 0.9511 V/m           | 0.8804 V/m           | 0.8096 V/m           |
| 651          | 23.07.2018 12:17:34 PM |             | 0.9566 V/m           | 0.8645 V/m           | 0.7339 V/m           |
| 652          | 23.07.2018 12:17:44 PM |             | 0.9603 V/m           | 0.8681 V/m           | 0.7701 V/m           |
| 653          | 23.07.2018 12:17:54 PM |             | 0.9745 V/m           | 0.9304 V/m           | 0.8573 V/m           |
| 654          | 23.07.2018 12:18:04 PM |             | 0.9488 V/m           | 0.8474 V/m           | 0.7939 V/m           |
| 655          | 23.07.2018 12:18:14 PM |             | 0.9683 V/m           | 0.8798 V/m           | 0.7757 V/m           |
| 656          | 23.07.2018 12:18:24 PM |             | 0.9557 V/m           | 0.9078 V/m           | 0.8227 V/m           |
| 657          | 23.07.2018 12:18:34 PM |             | 0.9654 V/m           | 0.9100 V/m           | 0.8535 V/m           |
| 658          | 23.07.2018 12:18:44 PM |             | 0.9464 V/m           | 0.9015 V/m           | 0.8438 V/m           |
| 659          | 23.07.2018 12:18:54 PM |             | 0.9568 V/m           | 0.9049 V/m           | 0.8140 V/m           |
| 660          | 23.07.2018 12:19:04 PM |             | 0.9665 V/m           | 0.9118 V/m           | 0.8554 V/m           |
| 661          | 23.07.2018 12:19:14 PM |             | 1.024 V/m            | 0.9684 V/m           | 0.9215 V/m           |
| 662          | 23.07.2018 12:19:24 PM |             | 1.009 V/m            | 0.9593 V/m           | 0.9071 V/m           |
| 663          | 23.07.2018 12:19:34 PM |             | 1.003 V/m            | 0.9220 V/m           | 0.8307 V/m           |
| 664          | 23.07.2018 12:19:44 PM |             | 1.013 V/m            | 0.9280 V/m           | 0.8653 V/m           |
| 665          | 23.07.2018 12:19:54 PM |             | 0.9585 V/m           | 0.9204 V/m           | 0.8679 V/m           |
| 666          | 23.07.2018 12:20:04 PM |             | 0.9525 V/m           | 0.9201 V/m           | 0.8866 V/m           |
| 667          | 23.07.2018 12:20:14 PM |             | 0.9318 V/m           | 0.8737 V/m           | 0.7694 V/m           |
| 668          | 23.07.2018 12:20:24 PM |             | 0.9798 V/m           | 0.8966 V/m           | 0.8174 V/m           |
| 669          | 23.07.2018 12:20:34 PM |             | 0.9910 V/m           | 0.9036 V/m           | 0.8300 V/m           |
| 670          | 23.07.2018 12:20:44 PM |             | 0.9336 V/m           | 0.8919 V/m           | 0.8290 V/m           |
| 671          | 23.07.2018 12:20:54 PM |             | 0.9345 V/m           | 0.8485 V/m           | 0.7268 V/m           |
| 672          | 23.07.2018 12:21:04 PM |             | 0.8955 V/m           | 0.8131 V/m           | 0.7188 V/m           |
| 673          | 23.07.2018 12:21:14 PM |             | 0.9424 V/m           | 0.8641 V/m           | 0.7886 V/m           |
| 674          | 23.07.2018 12:21:24 PM |             | 0.9191 V/m           | 0.8446 V/m           | 0.7764 V/m           |
| 675          | 23.07.2018 12:21:34 PM |             | 0.8738 V/m           | 0.8074 V/m           | 0.7234 V/m           |
| 676          | 23.07.2018 12:21:44 PM |             | 0.9430 V/m           | 0.8768 V/m           | 0.8106 V/m           |
| 677          | 23.07.2018 12:21:54 PM |             | 0.9773 V/m           | 0.8791 V/m           | 0.8163 V/m           |
| 678          | 23.07.2018 12:22:04 PM |             | 0.9155 V/m           | 0.8672 V/m           | 0.8353 V/m           |

| <u>Index</u> | <u>Date/Time</u>       | <u>Zero</u> | <u>Max (E-Field)</u> | <u>Avg (E-Field)</u> | <u>Min (E-Field)</u> |
|--------------|------------------------|-------------|----------------------|----------------------|----------------------|
| 679          | 23.07.2018 12:22:14 PM |             | 0.9271 V/m           | 0.8237 V/m           | 0.7531 V/m           |
| 680          | 23.07.2018 12:22:24 PM |             | 0.9441 V/m           | 0.8761 V/m           | 0.7997 V/m           |
| 681          | 23.07.2018 12:22:34 PM |             | 0.9663 V/m           | 0.8886 V/m           | 0.8089 V/m           |
| 682          | 23.07.2018 12:22:44 PM |             | 0.9759 V/m           | 0.8927 V/m           | 0.8399 V/m           |
| 683          | 23.07.2018 12:22:54 PM |             | 0.9453 V/m           | 0.8908 V/m           | 0.8333 V/m           |
| 684          | 23.07.2018 12:23:04 PM |             | 0.9548 V/m           | 0.8861 V/m           | 0.8210 V/m           |
| 685          | 23.07.2018 12:23:14 PM |             | 0.9013 V/m           | 0.8488 V/m           | 0.7785 V/m           |
| 686          | 23.07.2018 12:23:24 PM |             | 0.9271 V/m           | 0.8171 V/m           | 0.7410 V/m           |
| 687          | 23.07.2018 12:23:34 PM |             | 0.9386 V/m           | 0.8344 V/m           | 0.7257 V/m           |
| 688          | 23.07.2018 12:23:44 PM |             | 0.9083 V/m           | 0.8191 V/m           | 0.7139 V/m           |
| 689          | 23.07.2018 12:23:54 PM |             | 0.9447 V/m           | 0.8427 V/m           | 0.7568 V/m           |
| 690          | 23.07.2018 12:24:04 PM |             | 0.9456 V/m           | 0.8570 V/m           | 0.7553 V/m           |
| 691          | 23.07.2018 12:24:14 PM |             | 0.9371 V/m           | 0.8222 V/m           | 0.6593 V/m           |
| 692          | 23.07.2018 12:24:24 PM |             | 0.8909 V/m           | 0.8170 V/m           | 0.7440 V/m           |
| 693          | 23.07.2018 12:24:34 PM |             | 0.8390 V/m           | 0.7629 V/m           | 0.6571 V/m           |
| 694          | 23.07.2018 12:24:44 PM |             | 0.8925 V/m           | 0.8160 V/m           | 0.7257 V/m           |
| 695          | 23.07.2018 12:24:54 PM |             | 0.8785 V/m           | 0.8075 V/m           | 0.7481 V/m           |
| 696          | 23.07.2018 12:25:04 PM |             | 0.9310 V/m           | 0.8156 V/m           | 0.6509 V/m           |
| 697          | 23.07.2018 12:25:14 PM |             | 0.9271 V/m           | 0.8133 V/m           | 0.7196 V/m           |
| 698          | 23.07.2018 12:25:24 PM |             | 0.8081 V/m           | 0.7196 V/m           | 0.6287 V/m           |
| 699          | 23.07.2018 12:25:34 PM |             | 0.7659 V/m           | 0.6803 V/m           | 0.6260 V/m           |
| 700          | 23.07.2018 12:25:44 PM |             | 0.8151 V/m           | 0.7438 V/m           | 0.6208 V/m           |
| 701          | 23.07.2018 12:25:54 PM |             | 0.7601 V/m           | 0.7001 V/m           | 0.6274 V/m           |
| 702          | 23.07.2018 12:26:04 PM |             | 0.8165 V/m           | 0.7100 V/m           | 0.6051 V/m           |
| 703          | 23.07.2018 12:26:14 PM |             | 0.7836 V/m           | 0.6934 V/m           | 0.6378 V/m           |
| 704          | 23.07.2018 12:26:24 PM |             | 0.8702 V/m           | 0.7601 V/m           | 0.6914 V/m           |
| 705          | 23.07.2018 12:26:34 PM |             | 0.8377 V/m           | 0.7717 V/m           | 0.6953 V/m           |
| 706          | 23.07.2018 12:26:44 PM |             | 0.8312 V/m           | 0.7429 V/m           | 0.6866 V/m           |
| 707          | 23.07.2018 12:26:54 PM |             | 0.8195 V/m           | 0.7464 V/m           | 0.6753 V/m           |
| 708          | 23.07.2018 12:27:04 PM |             | 0.8537 V/m           | 0.7567 V/m           | 0.6589 V/m           |
| 709          | 23.07.2018 12:27:14 PM |             | 0.8101 V/m           | 0.7331 V/m           | 0.6217 V/m           |
| 710          | 23.07.2018 12:27:24 PM |             | 0.7978 V/m           | 0.7337 V/m           | 0.6842 V/m           |
| 711          | 23.07.2018 12:27:34 PM |             | 0.7998 V/m           | 0.7318 V/m           | 0.6676 V/m           |
| 712          | 23.07.2018 12:27:44 PM |             | 0.8591 V/m           | 0.7677 V/m           | 0.6810 V/m           |
| 713          | 23.07.2018 12:27:54 PM |             | 0.8060 V/m           | 0.7437 V/m           | 0.6862 V/m           |
| 714          | 23.07.2018 12:28:04 PM |             | 0.8208 V/m           | 0.7376 V/m           | 0.6878 V/m           |
| 715          | 23.07.2018 12:28:14 PM |             | 0.8265 V/m           | 0.7203 V/m           | 0.6450 V/m           |
| 716          | 23.07.2018 12:28:24 PM |             | 0.8107 V/m           | 0.7428 V/m           | 0.6878 V/m           |
| 717          | 23.07.2018 12:28:34 PM |             | 0.8546 V/m           | 0.7588 V/m           | 0.6977 V/m           |
| 718          | 23.07.2018 12:28:44 PM |             | 0.8774 V/m           | 0.8061 V/m           | 0.7572 V/m           |
| 719          | 23.07.2018 12:28:54 PM |             | 0.8920 V/m           | 0.7590 V/m           | 0.6814 V/m           |
| 720          | 23.07.2018 12:29:04 PM |             | 0.7822 V/m           | 0.7313 V/m           | 0.6576 V/m           |

## Graph





## Parameters

---

|                                  |                       |
|----------------------------------|-----------------------|
| Operating Mode                   | HIGH FREQUENCY        |
| Number of Sub Indices            | 720                   |
| Storing Date                     | 23.07.2018            |
| Storing Time                     | 10:29:04 AM           |
| Dataset Type                     | TIM                   |
| Voice Comment Available          | NO                    |
| Dataset Fine Type                | T1                    |
| GPS Flag                         | NORMAL                |
| Device Product Name              | NBM-550               |
| Device Serial Number             | B-0777                |
| Device Cal Due Date              | 06.08.2011            |
| Probe Product Name               | EF0391                |
| Probe Serial Number              | A-0882                |
| Probe Cal Due Date               | 03.08.2011            |
| Probe Field Type                 | E                     |
| Probe Connection Type            | A                     |
| Probe Lower Frequency Limit A    | 100 kHz               |
| Probe Upper Frequency Limit A    | 3 GHz                 |
| Probe Lower Frequency Limit B    | 100 kHz               |
| Probe Upper Frequency Limit B    | 3 GHz                 |
| Probe Emin A                     | 185.0 mV/m            |
| Probe Emax A                     | 300.0 V/m             |
| Probe Emin B                     | 185.0 mV/m            |
| Probe Emax B                     | 300.0 V/m             |
| Shaped Probe                     | NO                    |
| Standard ID                      | 1                     |
| Standard Name                    | FCC 1997 Occupational |
| Apply Standard                   | OFF                   |
| Frequency                        | 100 MHz               |
| Apply Correction Frequency       | OFF                   |
| Eref_E(f)                        | 61.40 V/m             |
| Eref_H(f)                        | 61.45 V/m             |
| Combi Probe Use                  | E_H                   |
| Unit                             | V/m                   |
| Results Format                   | FIXED                 |
| Auto-Zero Interval               | OFF                   |
| Result Type                      | -                     |
| Averaging Time                   | -                     |
| Average Progress                 | -                     |
| Spatial AVG Mode                 | -                     |
| Store Condition                  | -                     |
| Storing Range                    | -                     |
| Cond. Stop Time                  | -                     |
| Upper Threshold                  | -                     |
| Lower Threshold                  | -                     |
| Timer Interval                   | 10 sec                |
| Timer Duration                   | 02:00:00              |
| History Time Scale               | -                     |
| Time progress of current segment | -                     |

FOTOGRAFIE REJONU BADAŃ:



Fot. 1. Rejon badań, widok w kierunku południowo-wschodnim



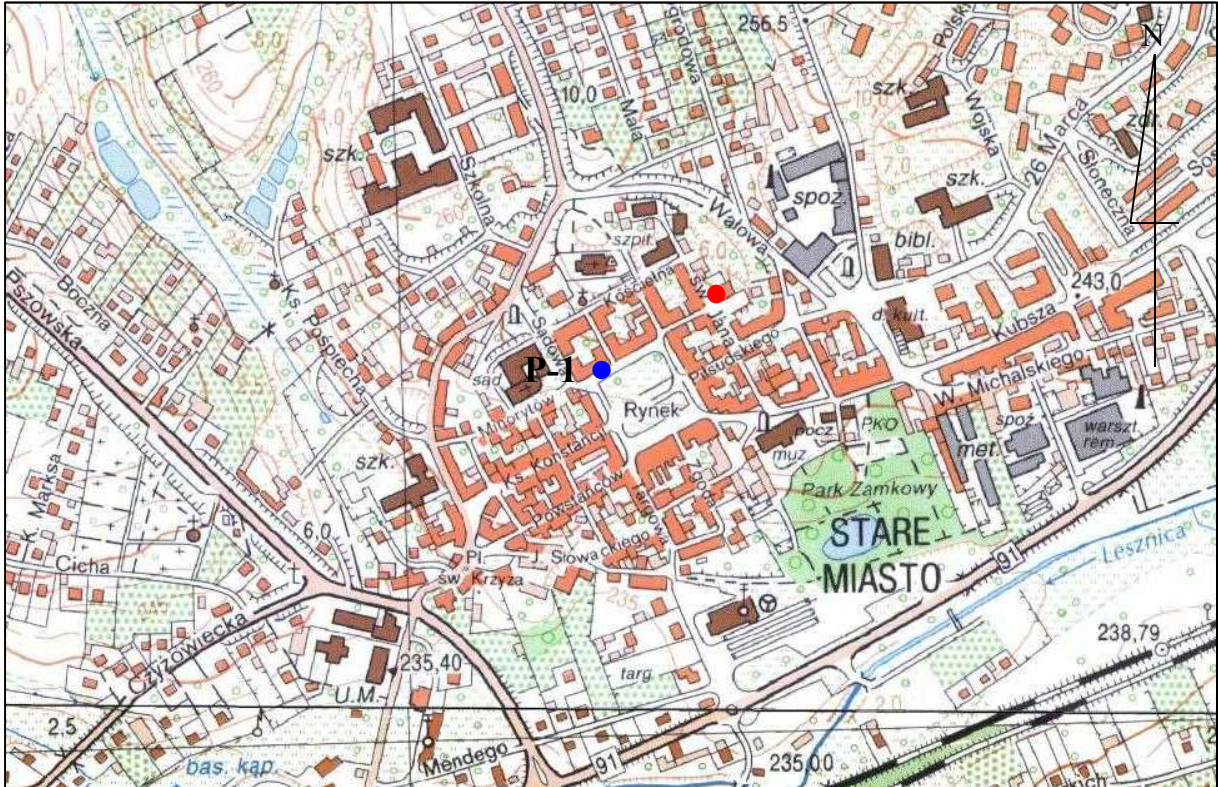
Fot. 2. Rejon badań, widok w kierunku południowym



Fot. 3. Rejon badań, widok w kierunku północnym



Fot. 4. Urządzenie pomiarowe w trakcie prowadzonego badania



## WODZISŁAW ŚLĄSKI

Oznaczenia:

- P-1 – punkt pomiarowy poziomów pól elektromagnetycznych w środowisku;
- – lokalizacja instalacji radiokomunikacyjnych w środowisku.

Ryc. Szkic sytuacyjny rejonu badań.

**Analiza widma promieniowania  
elektromagnetycznego  
w środowisku**

---

**Wyniki pomiarów i analiz widma pól elektromagnetycznych w zakresie częstotliwości od 27 MHz do 3 GHz, składowej elektrycznej  $E$ , V/m, w punkcie pomiarowym P-1Wodzisław Śląski:**

1.  $E$ , V/m, wartość maksymalna określona w paśmie częstotliwości 27 MHz - 3 GHz

$$E = 393,5 \text{ mV/m; } (N)^*$$

na poziomie częstotliwości  $f$ : 959,323 MHz  
(Ryc. 1: **Marker A**);

2.  $E$ , V/m, scałkowana wartość szerokopasmowa (wraz z szumami),  
w paśmie częstotliwości 27 MHz - 3 GHz

$$E = 820,1 \text{ mV/m; } (N)^*$$

3.  $E$ , V/m, wartość maksymalna określona w paśmie częstotliwości 27 MHz - 108 MHz,

$$E = 7,5 \text{ mV/m; } (N)^*$$

4.  $E$ , V/m, scałkowana wartość szerokopasmowa (wraz z szumami),  
w paśmie częstotliwości 27 MHz - 108 MHz,

$$E = 50,8 \text{ mV/m; } (N)^*$$

5.  $E$ , V/m, wartość maksymalna określona w paśmie częstotliwości 108 MHz - 450 MHz,

$$E = 4,689 \text{ mV/m; } (N)^*$$

6.  $E$ , V/m, scałkowana wartość szerokopasmowa (wraz z szumami),  
w paśmie częstotliwości 108 MHz - 450 MHz,

$$E = 43,45 \text{ mV/m; } (N)^*$$

7.  $E$ , V/m, wartość maksymalna określona w paśmie częstotliwości 450 MHz - 850 MHz,

$$E = 120,9 \text{ mV/m; } (N)^*$$

8.  $E$ , V/m, scałkowana wartość szerokopasmowa (wraz z szumami),  
w paśmie częstotliwości 450 MHz - 850 MHz,

$$E = 214,6 \text{ mV/m; } (N)^*$$

9.  $E$ , V/m, wartość maksymalna określona w paśmie częstotliwości 850 MHz - 3 GHz,

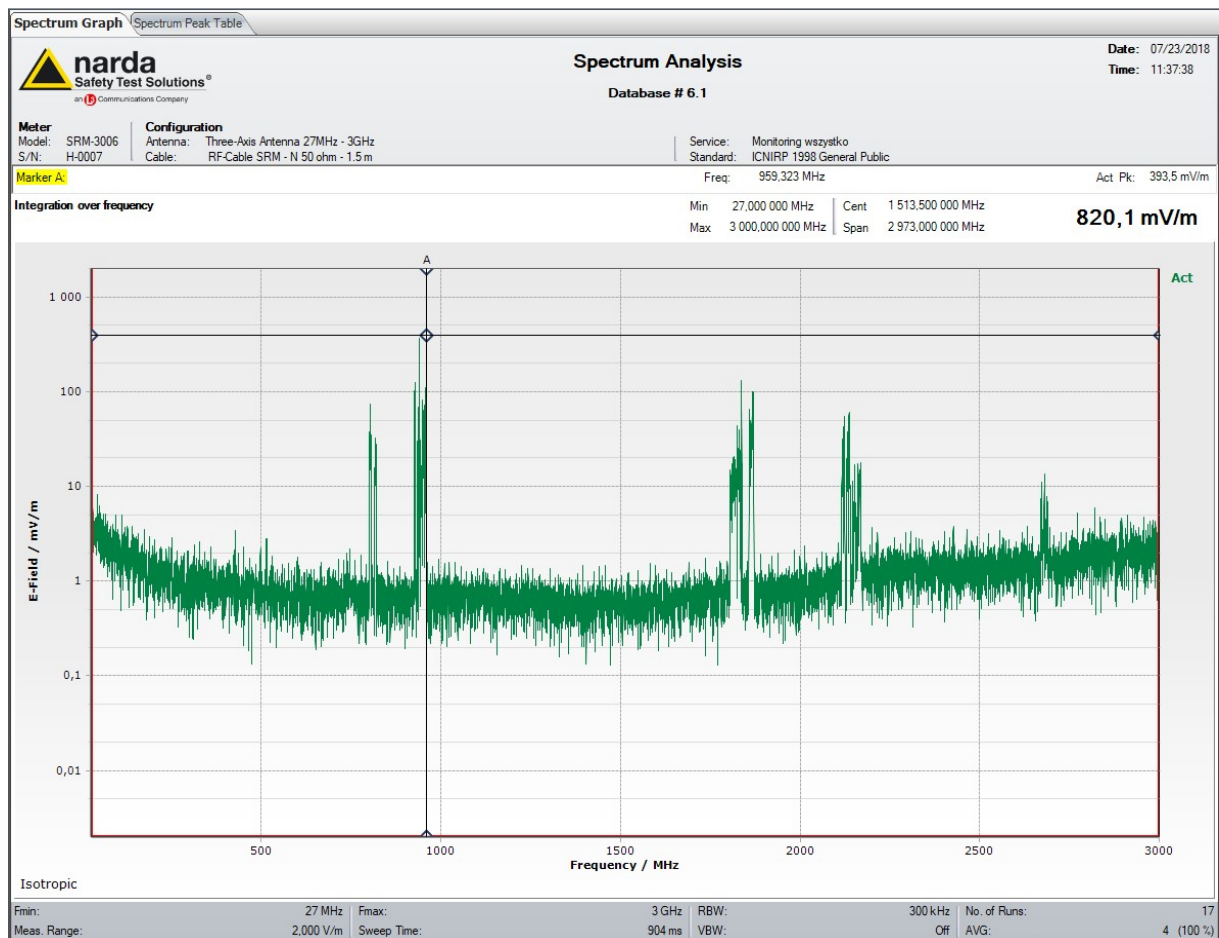
$$E = 339,5 \text{ mV/m; } (N)^*$$

10.  $E$ , V/m, scałkowana wartość szerokopasmowa (wraz z szumami),  
w paśmie częstotliwości 850 MHz - 3 GHz,

$$E = 464,4 \text{ mV/m; } (N)^*$$

Objaśnienia:

\*) Oznaczenie symboliczne,  $N$  - status wyniku badania: wynik badania spoza zakresu akredytacji.



Ryc. 1. SRM - 3006, Narda STS GmbH, Germany, Analiza widma promieniowania elektromagnetycznego w środowisku, punkt pomiarowy P-1 Wodzisław Śląski.

## INTERPRETACJE I WNIOSKI

Analiza widma opracowana została na podstawie wykonanego zapisu (save), wobec czego odnosi się tylko do danych chwili, w której wykonano zapis.

W rejonie przedmiotowych pomiarów w badanym zakresie częstotliwości od 27 MHz do 3 GHz dominującymi źródłami PEM wysokiej częstotliwości, są satelity bazowe telefonii komórkowych, pracujące w pasmach: 850, 900, 1800, 2100, 2600 MHz. Maksymalne poziomy w pasmie telefonii ruchomej osiągają 15% wartości dopuszczalnej (7 V/m) dla tego zakresu częstotliwości. Poza telefonia mobilną w badanym punkcie zarejestrowano słabe źródła w paśmie cyfrowej telewizji naziemnej.